





Encapsulation of aqueous extract of *Arctium lappa* L. root and study its effect on physicochemical and functional properties of Synbiotic orange-carrot juice

Farzaneh Esmaili¹, Mahnaz Hashemiravan^{1*}, Mohammad Reza Eshaghi¹, Hassan Gandomi²

Received: 2021.10.24

Revised: 2021.11.29

Accepted: 2021.12.08

Available Online: 2021.12.08

How to cite this article:

Esmaili, F., Hashemiravan, M., Eshaghi, M. R., Gandomi, H. (2022). Encapsulation of aqueous extract of *Arctium lappa* L. root and study its effect on physicochemical and functional properties of Synbiotic orange-carrot juice. *Iranian Food Science and Technology Research Journal*. 18 (5), 657-679.

Abstract

Introduction: Nowadays, there is a great tendency to consume functional foods, with special medicinal and extranutritional value in addition to basic nutritional properties. Foods containing probiotics and prebiotic compounds are classified in this category. Inulin is a water soluble storage polysaccharide and belongs to a group of non-digestible carbohydrates called fructans. Inulin is naturally present in some flowering plant species such as chicory and burdock root. The amount of inulin in these plants is in the range of 1 to 20% of the weight of the fresh plant. Pharmacological studies report that Burdock root contains significant amounts of the inulin as a prebiotic compounds, also exhibits a wide range of biological activities, specifically antioxidative, anti-inflammatory, and free radical scavenging activities. The aim of this study was to encapsulate the aqueous extract of burdock root and use it in a probiotic drink based on orange-carrot juice.

Material and Method: The Burdock roots were obtained from the local medical plant market, Tehran, Iran. Orange and carrot juice were purchased from Nooshin and Tandis (Food Company, Tehran, Iran) respectively. Maltodextrin and gum Arabic were prepared from Merck, Germany. First, the plant roots were dried to 5.2% moisture and then its aqueous extract was extracted with the help of ultrasonication. Then burdock roots extracts were encapsulated by spray drying (microencapsulation) and freeze drying (nanocapsulation) using maltodextrin and gum Arabic as wall coating agents. Capsule properties including encapsulation efficiency, particle size distribution, moisture, density, structural properties, TPC and antioxidant were determined. Then the encapsulated extracts (at levels of 0.5 and 1%) and free extract were used in the formulation of probiotic orange-carrot juice and its effect on the survival of probiotic bacteria as well as physicochemical and sensory properties of the final product during 30 days in refrigerator (4 ± 0.5 °C) were investigated. All experiments were carried out based on complete randomized design and the results represent the mean of at least three replicates. The data obtained were analyzed by the analysis of variance (ANOVA) using Minitab 16.0 statistical software. Significant differences between means were determined by Duncan's multiple range test at a probability levels of $P\leq 0.05$.

Results and Discussion: The results of encapsulation phase showed that Nanocapsules had higher efficiency and phenolic compounds content than microcapsules. The highest level of efficiency (92.75%) and phenolic compounds (0.385 mg GAE/g) and the smallest capsule particle size (14.33 ± 0.22 μm) were observed in Nanocapsules prepared with gum Arabic. The SEM images showed that the produced capsules in terms of microstructure, had flaky/glassy and angular surfaces and did not have a regular shape. By adding different forms of the extract (free/micro/Nano) to the orange-carrot juice, it was found that its characteristics including viability of probiotics, formalin index, turbidity, viscosity and antioxidant activity were significantly enhanced during cold storage compared to the control ($p<0.05$). During

1. Department of Food Science and Technology, College of Agriculture, Varamin-Pishva Branch, Islamic Azad University, Varamin, Iran.

2. Department of Food Hygiene, Faculty of Veterinary Medicine, University of Tehran, Tehran, Iran.

(*Corresponding Author Email: m_hashemiravan@yahoo.com)

DOI: [10.22067/ifstrj.2021.73234.1107](https://doi.org/10.22067/ifstrj.2021.73234.1107)

refrigeration, turbidity, acidity and IC50 increased in all treatments, especially in the control sample, while other characteristics (including the viability of probiotic bacteria), showed a decreasing trend. Addition of different forms of burdock root extract did not have an adverse effect on the flavor and odor of the samples, so that, all treatments were acceptable. Therefore, based on the results of this study, it can be stated that encapsulated burdock root extracts, especially in the form of nanocapsulation, can be used to increase the viability of probiotics and enhancement the antioxidant activity of functional foods.

Key words: Functional food, Encapsulation, Burdock root extract, Synbiotic, Formalin index.

مقاله علمی- پژوهشی

انکپسولاسیون عصاره آبی ریشه گیاه بابا آدم (*Arctium lappa*) و اثر آن بر خصوصیات

فیزیکوشیمیایی و عملگرایی نوشیدنی سین بیوتیک بر پایه آب پرتقال- هویج

فرزانه اسمعیلی^۱ - مهناز هاشمی روان^{۲*} - محمد رضا اسحاقی^۳ - حسن گندمی^۴

تاریخ دریافت: ۱۴۰۰/۰۸/۰۲

تاریخ بازنگری: ۱۴۰۰/۰۹/۰۸

تاریخ پذیرش: ۱۴۰۰/۰۹/۱۷

چکیده

هدف از این تحقیق ریزپوشانی عصاره آبی ریشه گیاه بابا آدم و استفاده از آن در نوشیدنی پروبیوتیک بر پایه آب پرتقال- هویج بود. برای این منظور ابتدا عصاره ریشه بابا آدم با دو روش میکروکپسولاسیون و نانوکپسولاسیون و با استفاده از دو ترکیب مالتودکسترین و صمغ عربی به عنوان پوشش دیواره، ریزپوشانی گردید. سپس عصاره ریزپوشانی شده (در سطوح ۰/۵ و ۱ درصد) به همراه عصاره آزاد در فرمولاسیون نوشیدنی پروبیوتیک آب پرتقال- هویج استفاده و اثر آن بر زنده‌مانی باکتری‌های پروبیوتیک و همچنین ویژگی‌های فیزیکوشیمیایی و حسی محصول نهایی طی دوره نگهداری ۳۰ روزه در دمای یخچال ($4 \pm 0.5^\circ\text{C}$) مورد بررسی قرار گرفت. نتایج مرحله ریزپوشانی نشان داد که نانوکپسول‌ها دارای راندمان و محتوای فنلی بالاتری نسبت به میکروکپسول‌ها بودند ($p < 0.05$)، بطوریکه بالاترین راندمان ($92/75\%$) و سطح ترکیبات فنلی (0.385 mgGAE/g) و کوچک‌ترین اندازه ذرات کپسول ($14/33 \pm 0.22$ میکرومتر) در نانوکپسول‌های تهیه‌شده با صمغ عربی مشاهده شد. تصاویر SEM نیز حاکی از این بود کپسول‌های تولیدی از لحاظ ریزساختار، دارای سطوح شیشه‌ای و زاویه‌دار بوده و شکل منظمی ندارند. با افزودن فرم‌های مختلف عصاره ریشه بابا آدم به فرمولاسیون نوشیدنی پروبیوتیک آب پرتقال- هویج حاوی 10^8 CFU/ml باکتری لاکتوباسیلوس/اسیدوفیلوس، مشاهده شد که پارامترهای کیفی از جمله عدد فرمالین، کدورت، ویسکوزیته، فعالیت آنتی‌اکسیدانی و بقاء باکتری‌های پروبیوتیک در نوشیدنی‌ها نسبت به نمونه کنترل افزایش یافت ($p < 0.05$). طی دوره نگهداری در یخچال میزان کدورت، اسیدیته و IC50 در همه تیمارها به‌ویژه در نمونه کنترل افزایش یافت در حالی که سایر شاخص‌ها از جمله قابلیت زنده‌مانی باکتری‌های پروبیوتیک روند کاهشی نشان داد. افزودن فرم‌های مختلف عصاره ریشه بابا آدم، تأثیر نامطلوبی بر طعم و بوی نمونه‌ها نداشت به طوری که کلیه تیمارها قابل پذیرش بودند. بنابراین، بر اساس نتایج این مطالعه می‌توان بیان کرد که عصاره ریشه بابا آدم، به‌ویژه در قالب نانوکپسول، می‌تواند برای افزایش ماندگاری پروبیوتیک‌ها و افزایش فعالیت آنتی‌اکسیدانی غذاهای عملگرا طی فرایند تولید و نگهداری مورد استفاده قرار گیرد.

واژه‌های کلیدی: غذای عملگرا، عصاره بابا آدم، سین بیوتیک، ریزپوشانی، عدد فرمالین.

مقدمه

رژیم غذایی روزانه است (Haghshenas et al., 2015). غذاهای عملگرا آن دسته از مواد غذایی یا اجزاء رژیمی غذایی بوده که علاوه بر مواد مغذی نظیر کربوهیدرات، پروتئین، چربی، ویتامین و مواد معدنی اثرات سودمندی نیز بر سلامتی انسان داشته و سبب ارتقاء سلامت و بهبود کیفیت و کمیت زندگی می‌گردد. از جمله این موارد می‌توان به مواد زیست فعال طبیعی مانند پروبیوتیک‌ها، آنتی‌اکسیدان‌ها، فیبرهای خوراکی و همچنین اجزای غذایی که به‌طور مصنوعی به مواد غذایی

در دنیای صنعتی، مصرف‌کنندگان به‌طور روزافزون به نقش فعال مواد غذایی در سلامت انسان، افزایش طول عمر، پیشگیری از سرطان و جلوگیری از بروز بیماری‌های گوارشی علاقمند شده‌اند. در سال‌های اخیر توجه خاصی به تولید غذاهای عملگرا شده است. هدف اصلی از غذاهای عملگرا معرفی میکروارگانیسم‌ها و یا ترکیبات مفید از طریق

۳- دانشیار، گروه علوم و صنایع غذایی، دانشکده کشاورزی، دانشگاه آزاد اسلامی- واحد ورامین پیشوا، ورامین، ایران.
۴- دانشیار، گروه بهداشت مواد غذایی، دانشکده دامپزشکی، دانشگاه تهران، تهران، ایران.

۱- دانشجوی دکتری، گروه علوم و صنایع غذایی، دانشکده کشاورزی، دانشگاه آزاد اسلامی- واحد ورامین پیشوا، ورامین، ایران.
۲- استادیار، گروه علوم و صنایع غذایی، دانشکده کشاورزی، دانشگاه آزاد اسلامی- واحد ورامین پیشوا، ورامین، ایران.

* نویسنده مسئول: Email: m_hashemiravan@yahoo.com

گلودرد، خارش بدن، مشکلات پوستی مختلف، مدر، عرق‌آور و پاک‌کننده خون استفاده می‌شود. مطالعات دارویی نشان می‌دهد که ریشه گیاه بابا آدم طیف گسترده‌ای از فعالیت‌های بیولوژیکی شامل خاصیت آنتی‌اکسیدان، ضدالتهابی و فعالیت آنتی‌اکسیدانی و مهار رادیکال‌های آزاد را دارد (Wu et al., 2020). همچنین گزارش شده است که عصاره لیوفیلیزه برگ بابا آدم فعالیت ضد میکروبی در برابر میکروارگانیسم‌های دهان را دارد و در برابر باکتری‌های مرتبط با عوامل بیماری‌زای عصب دندان مانند *Sodomonas Atroginosa*^۳، *Bacillus سوتیلیس*^۴ و *کاندیدا آلبیکنز*^۵ موثر می‌باشد (Petkova et al, 2020). فعالیت بیولوژیکی عصاره‌ها مانند فعالیت آنتی‌اکسیدانی و ضد میکروبی می‌تواند تحت تأثیر شرایط محیطی تغییر یابد، به طوری که گزارش ناپایداری این ترکیبات در شرایط محیطی ثبت شده است. سرعت و میزان تجزیه ترکیبات عصاره‌ها بستگی به ساختار شیمیایی ریز مغذی‌ها، خواص ماتریس مواد غذایی، شرایط فرآیند و محیط نگهداری دارد (Rakmai et al., 2018). یکی از روش‌های افزایش پایداری ترکیبات حساس، انکپسولاسیون (ریزپوشانی) است که بر اساس اندازه ذرات به دو نوع میکروکپسولاسیون و نانوکپسولاسیون تقسیم می‌شوند (Gilles et al., 2012).

ریزپوشانی، روش بسته‌بندی اجزاء و ترکیبات حساس در داخل یک پوشش یا دیواره است، تا از تأثیر عوامل فیزیکی و شیمیایی محیطی مصون بمانند. با استفاده از این روش، ضمن جلوگیری از هدر رفتن ترکیبات فرار و حساس به شرایط محیطی، می‌توان آن‌ها را تحت شرایط کنترل شده‌ای رها نمود. از این رو، ترکیبات فعال، حساس یا فرار نظیر ویتامین‌ها، ترکیبات عطر و طعم‌زا، عصاره‌های گیاهی، اسانس‌ها و غیره می‌توانند با استفاده از روش ریزپوشانی، به شکل پایداری تبدیل شوند (Loksuwan, 2007). دو روش متداول و مهم برای ریزپوشانی کردن ترکیبات فعال، خشک کردن پاششی و خشک کردن انجمادی است. ترکیبات مختلفی را می‌توان به عنوان پوشش یا دیواره در فرآیند ریزپوشانی استفاده کرد. پلی‌ساکاریدهایی مانند مالتودکسترین، نشاسته، صمغ عربی و اینولین به دلیل تنوع، هزینه پایین و کاربردهای فراوان در صنایع غذایی، بیش از سایر گونه‌ها در پوشش ترکیبات زیست فعال مورد استفاده قرار می‌گیرند (Fernandes et al., 2014).

آب‌میوه‌ها دارای مواد مغذی مفیدی نظیر مواد معدنی، ویتامین‌ها و آنتی‌اکسیدان‌ها هستند و می‌توانند ماده‌ای مناسب برای کشت باکتری‌های پروبیوتیک باشند. این مواد از پتانسیل بالا برای تبدیل شدن به محصول پروبیوتیک برخوردارند، زیرا خود فرآورده‌ای

اضافه شده، مانند پری‌بیوتیک‌ها اشاره نمود (Wegerif & Hebinck, 2016).

پروبیوتیک‌ها میکروارگانیسم‌های زنده‌ای هستند که مصرف منظم و کافی آنها با بهبود خواص میکروبی روده، اثرات سودمندی بر سلامت مصرف کننده می‌گذارد. برای تحقق این آثار سلامتی بخش مصرف منظم ۱۰^۷ سلول زنده توصیه می‌گردد (Lebeka et al., 2018). پری‌بیوتیک‌ها ترکیبات الیگوساکاریدی غیرقابل هضمی هستند که اثرات فیزیولوژیکی مفید خود را بر میزبان از طریق تحریک رشد انتخابی پروبیوتیک‌ها اعمال می‌کنند (Shoaib et al., 2016). یک ماده غذایی حاوی پروبیوتیک و پری‌بیوتیک را سین‌بیوتیک یا غذای فراویژه می‌نامند. بین پروبیوتیک‌ها و پری‌بیوتیک‌ها در فرآورده‌های سین‌بیوتیک اثر سینرژیستی وجود دارد (Wegerif & Hebinck, 2016). اینولین و الیگوفروکتوزها جزء ترکیبات پری‌بیوتیکی هستند که با هدف بهبود ویژگی‌های تکنولوژیکی و با فواید تغذیه‌ای در محصولات غذایی به کار می‌روند (Tewari et al., 2015). اینولین به طور طبیعی در برخی از گونه‌های گیاهی گلدار مانند کاسنی و ریشه گیاه بابا آدم وجود دارد و همچنین توسط برخی از باکتری‌ها و قارچ‌ها نیز تولید می‌شود. مقدار اینولین در این گیاهان در محدوده ۱ تا ۲۰ درصد وزن گیاه تازه است (Shoaib et al., 2016).

گیاه بابا آدم با نام علمی *Arctium lappa* از تیره کاسنی (مرکبیان) و خانواده *Asteraceae* است و گیاهی علفی، دو ساله و دارای ساقه ضخیم منشعب می‌باشد، که به حالت وحشی و خودرو در دشت‌ها و نواحی مرطوب و سایه‌دار در نواحی معتدل اروپا و آسیا می‌روید (Wu et al., 2020). این گیاه دارای ریشه‌ای دراز به قطر انگشت، با ظاهر دوکی شکل و شیارهای طولی عمیق به رنگ قهوه‌ای است که در مقطع سفیدرنگ می‌باشد. در ایران محل رویش گیاه بابا آدم در استان‌های گیلان، گرگان، مازندران، تبریز، همدان، اراک، قزوین و کرج است. برداشت محصول در اواخر اسفند تا اردیبهشت‌ماه سال دوم رشد گیاه صورت می‌گیرد. در این مدت، ریشه به حداکثر رشد خود رسیده و به اندازه کافی گوشت‌دار می‌شود (Samsam Shariat, 2005).

ترکیبات شیمیایی ریشه بابا آدم شامل اینولین، روغن فرار، تانن، رزین، قند، آهن، کلسیم، کوئرستین^۱، آرکتیژنین^۲ و ویتامین C می‌باشد. ریشه بابا آدم همچنین حاوی ترکیبات مغذی رایج نظیر اسیدهای آمینه ضروری، عناصر فلزی مانند پتاسیم، کلسیم، فسفر، منیزیم، منگنز، سدیم، روی و مس، ویتامین‌های B₁، B₂، C و A، فیبر خام، فسفر و کاروتن می‌باشد. از ریشه بابا آدم در طب سنتی جهت درمان ورم لوزه،

4 *Bacillus subtilis*
5 *Candida albicans*

1 Quercetin
2 Arctigenin
3 *Pseudomonas aeruginosa*

سپس هر کدام از محلول‌های حاصله، در دمای ۶۰-۴۰ درجه سلسیوس بر روی همزن مغناطیسی به مدت ۳۰ دقیقه همزده شدند تا محلول دارای حجم نهایی ۲۰۰ میلی‌لیتر و محتوای مواد جامد کل بین ۲۱-۱۸ درجه بریکس به‌دست آمد. پس از همزدن محلول‌ها، ۲ گرم عصاره بابا آدم به محلول‌های تولیدی اضافه شده و مخلوط گردید. مخلوط حاصله تو سطر هموژنیزاتور به مدت ۵ دقیقه در ۹۵۰۰ rpm-۸۰۰۰ هموژن شد، تا پراکندگی مواد به‌طور کامل صورت گیرد (Le et al., 2017). سپس مخلوط حاصله توسط دستگاه خشک‌کن پاششی به پودر تبدیل گردید، بدین صورت که محلول تولیدی توسط یک پمپ با سرعت دوران قابل کنترل بین ۱ تا ۱۰۰ درصد به خشک‌کن پاششی تزریق شد. شرایط بهینه ریزپوشانی دستگاه بدین صورت بود؛ دمای ورودی ۱۲۰ درجه سانتی‌گراد، سرعت تغذیه ۶/۶ میلی‌لیتر در دقیقه، قطر نازل ۸-۵ میلی‌متر، جریان هوای خشک ۴۵-۴۲ لیتر بر ساعت، اسپراتور ۹۰ درصد و سرعت پمپ ۲۰ درصد (معادل ۵ میلی‌لیتر بر دقیقه). پودر تولیدی در زیر سیکلون در انتهای مسیر جمع‌آوری شده و بلافاصله برای سرد شدن به دسیکاتور منتقل شد. سپس در ظروف مخصوص در دمای ۲۰ درجه سلسیوس و دور از نور و رطوبت برای انجام سایر آزمایشات نگهداری گردید (Cheraghali et al., 2016).

نانوکپسولاسیون عصاره

۴۰ گرم مالتودکسترین و صمغ عربی در آب مقطر حل شده و قبل از تهیه سوسپانسیون، به مدت یک شبانه‌روز در یک حمام آب لرزشی نگهداشته شدند. سپس ۲ گرم عصاره به محلول‌های آماده‌سازی شده، اضافه شد. همزندن مخلوط‌های حاصله توسط همزن مغناطیسی انجام گرفت، تا به‌طور هموژن و یکنواخت درآمد. در یک ظرف شیشه‌ای دیگر، ۱ گرم سدیم تری‌پلی‌فسفات (STPP) در ۱۰۰ میلی‌لیتر آب حل شده و ۱ سی سی توئین ۸۰ (۱/۷ در صد) به محلول STPP اضافه شده و همزده شد. سپس محلول صمغ عربی / مالتودکسترین-عصاره ریشه بابا آدم به محلول STPP اضافه گردید و به مدت ۳۰ دقیقه همزده شد، سپس در سرعت ۱۰۰۰۰ rpm به مدت ۱۵ دقیقه سانتریفیوژ شد. پس از آن، ر سوب تشکیل شده توسط خشک‌کن انجمادی خشک گردید (Zahrani et al., 2016).

تهیه نوشیدنی سین‌بیوتیک آب پرتقال- هویج

به‌منظور تهیه نمونه نوشیدنی پرتقال- هویج پروبیوتیک، ابتدا ترکیب ۵۰ میلی‌لیتر آب پرتقال و ۵۰ میلی‌لیتر آب هویج، شکر (۸/۵ درصد وزنی / حجمی)، اسید سیتریک (۰/۱ درصد وزنی / وزنی) مخلوط

سلامت‌بخش بوده و توسط گستره‌ی وسیعی از مردم مصرف می‌شوند. همچنین آب‌میوه‌ها از نظر حسی مقبول عام بوده و برخلاف فرآورده‌های لبنی، فاقد ترکیبات ناسازگار با بدن نظیر لاکتوز هستند (White & Hekmat, 2018).

بر این اساس، با توجه به حضور اینولین در ریشه بابا آدم و نقش اینولین در تحریک رشد باکتری‌های پروبیوتیک، در این تحقیق، ابتدا عصاره ریشه بابا آدم توسط روش‌های خشک کردن پاششی و خشک کردن انجمادی با استفاده از ترکیبات مالتودکسترین و صمغ عربی ریزپوشانی گردید، سپس اثر عصاره بابا آدم به صورت آزاد و ریزپوشانی شده بر خصوصیات کیفی، حسی و بقاء باکتری پروبیوتیک لاکتوباسیلوس / اسیدوفیلوس در آب‌میوه سین‌بیوتیک حاصل از ترکیب آب پرتقال-هویج طی دوره نگهداری ۳۰ روزه در دمای یخچال مورد بررسی قرار گرفت.

مواد و روش‌ها

استخراج عصاره ریشه گیاه بابا آدم

برای این منظور ریشه‌های گیاه بابا آدم را پوست کنده، برش داده و در دمای ۶۰-۵۵ درجه سانتی‌گراد به مدت ۲۴ ساعت خشک گردید. سپس، ریشه‌های خشک شده را آسیاب نموده و از الک ۵۰ میکرومتر عبور داده شد تا به اندازه یکنواخت برسند. نمونه آماده شده با رطوبت تقریباً ۵/۲ درصد در ظروف خشک شده برای استفاده بعدی ذخیره شد. فرآیند استخراج عصاره از ریشه گیاه بابا آدم با استفاده از حمام فراصوت (Bandelin Sonorex digitec، آلمان) انجام شد. آزمایش‌های استخراج با کمک امواج فراصوت در نسبت ماده جامد به مایع (۳/۵: ۱ گرم در میلی‌لیتر)، دمای فراصوت (۵۵ درجه سانتی‌گراد) و زمان فراصوت (۳۵ دقیقه) با توجه به نقطه بهینه به‌دست آمده در مرحله اول انجام شد (Esmaeili et al., 2021; Milani et al., 2011). پودر ریشه بابا آدم و آب در نسبت ۱:۱۰ در یک ارلن‌مایر مخلوط و سپس در حمام آب قرار داده شد. پس از اتمام فرآیند اولتراسوند، مخلوط حاصل با دور ۶۰۰۰ rpm به مدت ۱۰ دقیقه سانتریفیوژ (Sigma 2-16K, Germany) شدند و مایع رویی با فیلتر کاغذی فیلتر شد تا بقایای نامحلول حذف گردد (Yang et al., 2017).

میکروکپسولاسیون عصاره

جهت تهیه میکروکپسول‌های عصاره ریشه گیاه بابا آدم، در ابتدا ۴۰ گرم از مواد پوشش‌دهنده (۲۰ درصد وزنی / حجمی)، شامل مالتودکسترین و صمغ عربی به‌طور جداگانه در آب مقطر حل گردیدند.

محیط کشت MRS agar انتقال و به صورت خطی کشت گردید، پس از ۲۴ ساعت انکوباسیون از کلونی‌های رشد یافته برای تهیه محلول نیم مک فارلند استفاده گردید. مقداری از کلونی باکتری به وسیله لوپ برداشته و در لوله‌های حاوی محلول رینگر حل شد و سپس جذب آن در طول موج ۶۲۰ نانومتر توسط اسپکتروفتومتر قرائت گردید، زمانیکه جذب نمونه در محدوده ۰/۵ قرار گیرد محلول نیم مک فارلند تهیه شده که تعداد باکتری موجود در آن برابر $10^8 \times 1/5$ می‌باشد.

نمونه‌های آبیوه پس از بسته‌بندی در بطری‌های ۱۰۰ میلی‌لیتری به مدت ۲۴ ساعت در دمای ۳۰ درجه سانتی‌گراد گرمخانه‌گذاری شده و بعد از پایان انکوباسیون، به مدت یک ماه در دمای یخچال نگهداری شدند و در روزهای ۱، ۱۰، ۲۰ و ۳۰ انبارمانی، آزمون‌های مربوطه بر روی آن‌ها انجام گرفت. تیمارهای مورد مطالعه در این مرحله، در جدول ۱ آورده شده است.

شد. برای ایجاد یکنواختی و کاهش میزان دو فاز شدن نوشیدنی، از صمغ پکتین (۰/۱ درصد) استفاده گردید ($0.3 \pm 0.4 - pH=3/96$). در سایر تیمارها، فرم آزاد، میکروکپسوله شده و نانو کپسوله شده عصاره ریشه بابا آدم، هر کدام در دو سطح ۰/۵ و ۱، جایگزین بخشی از آب فرمولاسیون شد. پاستوریزاسیون نمونه‌ها در بن‌ماری در دمای ۸۵ درجه سانتی‌گراد به مدت یک دقیقه انجام گرفت (Raiesi et al., 2013). پس از سرد شدن آب‌میوه‌ها، به هر کدام از تیمارها به میزان ۱ درصد حجمی/حجمی از سوسپانسیون نیم مک فارلند باکتری لاکتوباسیلوس/اسیدوفیلوس با کد سویه *IBRC-M 11321* (CFU/ml) $10^8 \times 1/5$ افزوده شد. به منظور تهیه استوک باکتری پروبیوتیک با روش نیم مک فارلند، ابتدا محتوی آمپول‌های لیوفلیزه خریداری شده از مرکز ذخایر ژنتیکی ایران به محیط MRS broth اضافه شده و در دمای ۳۷ درجه سانتی‌گراد به مدت ۲۴ ساعت انکوباسیون گردید، سپس بر روی

جدول ۱- تیمارهای نوشیدنی مورد بررسی در این تحقیق
Table 1- Beverage treatments studied in this research

توضیحات	کد تیمارها
شاهد (نوشیدنی پروبیوتیک فاقد فرم های مختلف عصاره ریشه بابا آدم)	Ctrl
نوشیدنی پروبیوتیک حاوی 0/025 g/100mL فرم آزاد عصاره ریشه بابا آدم	T1
نوشیدنی پروبیوتیک حاوی 0/05 g/100mL فرم آزاد عصاره ریشه بابا آدم	T2
نوشیدنی پروبیوتیک حاوی 0/5 g/100mL عصاره میکروکپسوله شده با مالتودکسترین	T3
نوشیدنی پروبیوتیک حاوی 1 g/100mL عصاره میکروکپسوله شده با مالتودکسترین	T4
نوشیدنی پروبیوتیک حاوی 0/5 g/100mL عصاره میکروکپسوله شده با صمغ عربی	T5
نوشیدنی پروبیوتیک حاوی 1 g/100mL عصاره میکروکپسوله شده با صمغ عربی	T6
نوشیدنی پروبیوتیک حاوی 0/5 g/100mL عصاره نانو کپسوله شده با مالتودکسترین	T7
نوشیدنی پروبیوتیک حاوی 1 g/100mL عصاره نانو کپسوله شده با مالتودکسترین	T8
نوشیدنی پروبیوتیک حاوی 0/5 g/100mL عصاره نانو کپسوله شده با صمغ عربی	T9
نوشیدنی پروبیوتیک حاوی 1 g/100mL عصاره نانو کپسوله شده با صمغ عربی	T10

محافظ که در دمای ۸۵ درجه سانتی‌گراد با سرعت جریان ۰/۱ میلی‌لیتر در دقیقه کار می‌کرد، انجام شد (Petkova et al., 2020).

راندمان ریزپوشانی

راندمان ریزپوشانی، از طریق توزین جرم مواد جامد قبل از ریزپوشانی و جرم کپسول‌های به دست آمده بعد از ریزپوشانی و از طریق رابطه ۱ به دست آمد (Badfarsa et al., 2017).

(۱) $100 \times$ ریزپوشانی از قبل جامد مواد کل جرم/ریزپوشانی از بعد حاصله‌های کپسول کل جرم = راندمان تولید ریزکپسول (درصد)

اندازه‌گیری میزان ترکیبات پلی‌فروکتوز (فروکتان) و شناسایی کربوهیدرات‌های موجود در عصاره

میزان کل فروکتان‌ها توسط معرف resorcinol-thiourea و با استفاده از دستگاه اسپکتروفتومتر در طول موج ۴۸۰ نانومتر اندازه‌گیری و نتایج به صورت گرم فروکتوز در ۱۰۰ گرم وزن خشک (DW) بیان شد. شناسایی کربوهیدرات‌های عصاره نیز توسط دستگاه HPLC (Hitachi, Japan) Elite Chrome همراه با آشکارساز ضریب شکست مدل Chromaster 5450 که در دمای ۳۵ درجه سانتی‌گراد کار می‌کند، انجام شد. جداسازی با فاز متحرک H_2O تقطیر شده بر روی ستون Shodex Sugar SP0810 (8×300 میلی‌متر) با یک ستون

۷۲ ساعته در دمای ۳۷ درجه سلسیوس، کلنی‌ها شمارش شده و به صورت $\log \text{CFU/mL}$ گزارش شدند (Daneshi et al., 2013).

اندازه‌گیری اسیدیته و pH

برای اندازه‌گیری pH، دستگاه pH متر به ترتیب توسط محلول بافر $\text{pH}=7$ و محلول بافر $\text{pH}=4$ کالیبره شد. سپس، مقداری از نمونه در یک بشر خشک و تمیز ریخته شده و الکتروود دستگاه pH متر درون آن قرار گرفت. دمای pH متر با توجه به دمای نمونه تنظیم گردید. پس از ثابت شدن عدد، pH نمونه قرائت شد (ISIRI, 2007). برای تعیین اسیدیته نمونه‌های آبمیوه نیز ۲۵۰ میلی لیتر آب مقطر تازه جو شیده و سرد شده به یک ارلن مایر ۵۰۰ میلی لیتری منتقل و ۲۰ گرم نمونه آبمیوه به آن اضافه گردید. سپس شنا ساگر فنل فتالین (به میزان ۰/۳ میلی لیتر فنل فتالین برای هر ۱۰۰ میلی لیتر محلول نمونه) به آن افزوده شده و با محلول هیدروکسید سدیم ۰/۱ نرمال، تا ایجاد رنگ صورتی کم رنگ پایدار (به مدت ۳۰ ثانیه)، تیترا شد. میزان اسیدیته از طریق رابطه ۲ محاسبه گردید.

$$A = \frac{V \times 0.064 \times 100}{m} \quad (2)$$

در این رابطه V حجم مصرفی هیدروکسید سدیم ۰/۱ نرمال بر حسب میلی لیتر، m وزن نمونه بر حسب گرم و A اسیدیته کل بر حسب گرم اسید سیتریک در صد گرم نمونه می باشد (ISIRI, 2007).

کدورت

برای اندازه‌گیری کدورت نمونه‌های نوشیدنی از اسپکتروفتومتر در طول موج ۴۲۰ نانومتر استفاده شده و کدورت نمونه‌ها بر حسب NTU گزارش شد (Santos et al., 2019).

ویسکوزیته

برای اندازه‌گیری ویسکوزیته از ویسکومتر بروکفیلد ساخت کشور انگلستان استفاده شد. بدین صورت که نمونه‌های نوشیدنی درون محفظه استوانه‌ای ۵۰ میلی لیتری ریخته شده و از اسپیندل شماره ۶۱ استفاده شد. با توجه به دستورالعمل شرکت سازنده، اسپیندل مناسب جهت اندازه‌گیری ویسکوزیته، اسپیندلی است که در سرعت مورد نظر گشتاوری بالاتر از ۱۰ درصد را نشان دهد. در دمای اندازه‌گیری ۲۲/۷ درجه سلسیوس، اسپیندل ۶۰ متصل به دستگاه در داخل مخزن قرار داده شد و در ۵۰ دور در دقیقه، با رسیدن نرخ برش دستگاه به ۵۰

توزیع اندازه ذرات

اندازه ذرات با استفاده از دستگاه پراکندگی نور دینامیکی^۱ (Shimadzu، ژاپن) اندازه‌گیری شد. تقریباً ۵ گرم نمونه در ۵۰ میلی لیتر هگزان در دمای محیط مخلوط شد و سپس نمونه به مدت ۲ دقیقه توسط اولتراسونیک پراکنده شد تا از تعلیق جداگانه آن اطمینان حاصل شود. نتایج به دست آمده از دستگاه برای استخراج و گزارش پارامترهای بزرگترین (D_{90}) و کوچکترین (D_{10}) اندازه ذرات در مقیاس میکرومتر استفاده شد (Junior et al., 2018).

ساختار مورفولوژی کپسول‌ها

برای بررسی ریزساختار یا مورفولوژی کپسول‌های تولیدی، از میکروسکوپ الکترونی روبشی^۲ (LEO 1450, Germany) با بزرگنمایی ۳۰۰۰ برابر استفاده گردید. نمونه‌ها به وسیله دستگاه پوشش دهنده با لایه‌ای از طلا پوشیده شده و سپس از سطح خارجی نمونه‌های آماده‌سازی شده در ولتاژ ۱۵ kv تصویربرداری شد (Badfarsa et al., 2017).

محتوی فنل کل کپسول‌ها

محتوای فنول کل نمونه‌های کپسول بر اساس روش فولین-سیوکالتیو اندازه‌گیری شد. بدین صورت که ۱۰۰ میکرولیتر از عصاره ریزپوشانی شده با ۲/۵ میلی لیتر معرف فولین-سیوکالتیو مخلوط شد و به مدت ۳ دقیقه در حالت سکون باقی ماند تا واکنش صورت گرفت. سپس ۵ میلی لیتر کربنات سدیم ۷/۵ درصد به آن اضافه شده و بعد از یک دقیقه، با آب مقطر به حجم ۵۰ میلی لیتر رسانده شد. نمونه به مدت ۲۴ ساعت در مکانی تاریک نگهداری گردید و سپس جذب آن در طول موج ۷۶۵ نانومتر در برابر شاهد قرائت شد. میزان ترکیبات فنولی کل نمونه‌ها با استفاده از منحنی استاندارد ترسیم شده با اسید گالیک و معادله حاصل ($y=0.1554x-0.1456$) تعیین گردید (Huang & Yang, 2011).

زنده‌مانی باکتری‌های پروبیوتیک

در ابتدا نمونه‌ها در محلول استریل رینگر رقیق شده و گونه پروبیوتیک زنده لاکتوباسیلوس / سیدوفیلوس توسط کشت پورپلیت بر روی محیط کشت MRS Agar ارزیابی شدند. آنتی‌بیوتیک مورد استفاده به عنوان استاندارد و نکومایسین^۳ بود. پلیت‌ها در ظروف در بسته به صورت بی‌هوازی گرمخانه‌گذاری شدند و برای کنترل شرایط بی‌هوازی، از یک شنا ساگر بی‌هوازی استفاده شد. پس از انکوباسیون

(یک بر ثانیه) عدد مربوط به ویسکوزیته قرائت گردید (Zokti James et al., 2016).

عدد فرمالین

۲۵ میلی‌لیتر آب‌میوه (V_0) به یک بشر منتقل شد. یک عدد مگنت داخل بشر قرار داده و بشر روی همزن مغناطیسی گذاشته شد و در حال به هم زدن، تا رسیدن به $pH = 8/1$ ، هیدروکسید سدیم $0/1$ نرمال قطره قطره به آن اضافه گردید. سپس 10 میلی‌لیتر محلول فرمالدئید خنثی، در حال به هم زدن به آن اضافه شده و به مدت یک دقیقه با هم مخلوط شدند. سپس تا رسیدن به $pH = 8/1$ ، هیدروکسید سدیم $0/25$ N قطره قطره به آن اضافه گردید (V). مقدار عددی فرمالین از طریق رابطه ۳ محاسبه گردید (ISIRI, 2007).

$$F \text{ (mg/kg)} = \frac{V \times N \times 10 \times 100}{V_0} \quad (3)$$

فعالیت آنتی‌اکسیدانی

اندازه‌گیری فعالیت آنتی‌اکسیدانی نمونه‌های نوشیدنی بر اساس ارزیابی ظرفیت چلات‌کنندگی رادیکال آزاد بود. در این روش، برای اندازه‌گیری فعالیت آنتی‌اکسیدانی نوشیدنی‌ها، از $2,2$ دی فنیل-۱-پیکریل هیدرازیل (DPPH) استفاده گردید. بدین منظور، 100 میکرولیتر آب‌میوه در نسبت 1 به 10 توسط متانول رقیق شد و سپس با 2 میلی‌لیتر DPPH mol/L در متانول مخلوط گردید. پس از آنکو با سیون به مدت 30 دقیقه در تاریکی و در دمای اتاق، جذب مخلوط توسط دستگاه اسپکتروفتومتر در طول موج 517 nm قرائت شده و فعالیت آنتی‌اکسیدانی با استفاده از رابطه ۴ محاسبه گردید (Huang & Yang, 2011).

$$DPPH \text{ (\%)} = \frac{Abs_{control} - Abs_{sample}}{Abs_{control}} \times 100 \quad (4)$$

خواص حسی

ارزیابی حسی نوشیدنی‌ها (طعم، رنگ، بو و پذیرش کلی) به روش هدونیک ۹ نقطه‌ای و با تکمیل پرسشنامه ارزیابی، توسط ۱۰ نفر ارزیاب آموزش‌دیده انجام شد (Daneshi et al., 2013).

تجزیه و تحلیل آماری داده‌ها

تحقیق حاضر در دو مرحله انجام شد، در مرحله اول ریزپوشانی عصاره ریشه بابا آدم با دو روش میکروکپسولاسیون و نانوکپسولاسیون و با استفاده از دو ترکیب مالتودکسترین و صمغ عربی به‌عنوان پوشش دیواره انجام شد. در مرحله دوم از عصاره ریزپوشانی شده (در سطوح $0/5$ و 1 درصد) به همراه عصاره آزاد در فرمولاسیون نوشیدنی پروبیوتیک آب پرتقال- هویج استفاده و اثر آن بر زنده‌مانی باکتری‌های پروبیوتیک و همچنین ویژگی‌های فیزیکوشیمیایی و حسی محصول نهایی مورد بررسی قرار گرفت. تمام آزمایشات بر اساس طرح کاملاً تصادفی انجام شد و نتایج، حاصل میانگین حداقل سه تکرار بود. داده‌های به‌دست آمده با استفاده از نرم‌افزار آماری Minitab 16.0 با تجزیه واریانس (ANOVA) مورد تجزیه و تحلیل قرار گرفت. اختلاف بین میانگین‌ها با آزمون دانکن در سطح احتمال $p < 0/05$ تعیین شد.

نتایج و بحث

محتوای کل ترکیبات پلی‌فروکتوز اندازه‌گیری شده و همچنین کربوهیدرات‌های شناسایی شده در عصاره آبی ریشه گیاه بابا آدم در جدول ۲ نشان داده شده است. همانطور که مشاهده می‌شود اینولین، فروکتوالیگوساکاریدها (Nystose و 1-Kestose) و انواع قندها (ساکارز، گلوکز و فروکتوز) شناسایی شدند. محتوای کل فروکتان‌های عصاره برابر $12/9 \pm 0/88$ g/100g DW اندازه‌گیری شد که حدود 75 درصد آن $9/75 \pm 0/65$ g/100g DW به اینولین تعلق دارد (جدول ۲). فروکتوالیگوساکاریدهای Nystose و 1-Kestose که ترکیبات تجزیه شده حاصل از فروکتان‌ها هستند نیز به ترتیب به میزان $0/18 \pm 0/88$ و $0/53 \pm 0/08$ g/100g DW شناسایی شدند. محتوای اینولین و فروکتوالیگوساکاریدها در عصاره ریشه بابا آدم بر اساس شرایط آب و هوایی، منطقه جغرافیایی، زمان برداشت، شرایط نگهداری، نوح حلال به کار رفته برای استخراج عصاره و شرایط استخراج می‌تواند متفاوت باشد (Cao et al., 2018). Petkova و همکاران (۲۰۲۰) میزان اینولین، Nystose و 1-Kestose عصاره ریشه گیاه بابا آدم مربوط به کشور بلغارستان را به ترتیب $0/7$ ، $0/3$ و $0/1$ g/100g DW گزارش دادند (Petkova et al., 2020). در حالیکه Cao و همکاران (۲۰۱۸) و Bagaoutdinova و همکاران (۲۰۰۱) محتوای اینولین عصاره ریشه بابا آدم کشورهای کره جنوبی و روسیه را به ترتیب 9 و 9 g/100g DW گزارش کردند (Bagaoutdinova et al., 2001; Cao et al., 2018).

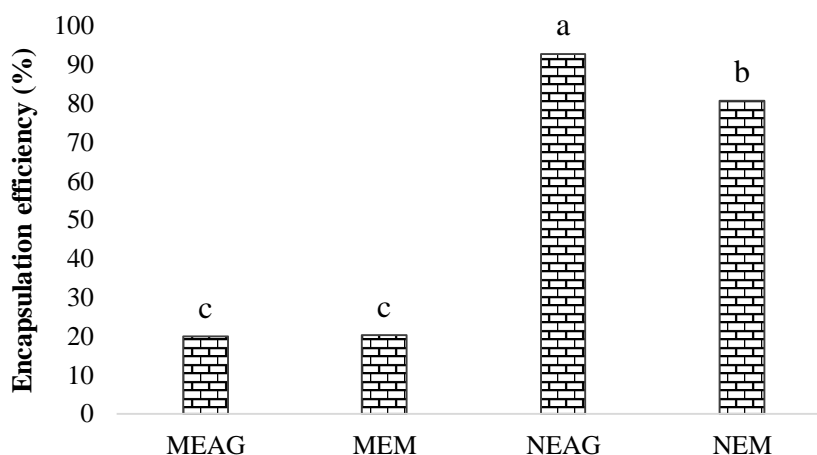
جدول ۲- محتوای پلی فروکتوزها و آنالیز کربوهیدرات‌های عصاره بر حسب (g/100g DW)
Table 2- Polyfructoses content and analysis of carbohydrates of the extract in (g/100g DW)

ترکیب	ترکیبات پلی فروکتوز (فروکتان)	اینولین	فروکتوز	ساکاروز	Nystose	1-Kestose	کلوکز
مقدار	12.90± 0.88	9.75± 0.65	1.55± 0.12	1.08± 0.09	0.88± 0.18	0.53± 0.08	1.23± 0.21

ارزیابی ویژگی‌های میکروکپسول و نانوکپسول‌ها راندمان فرایند ریز پوشانی

یکی از اولین ویژگی‌هایی که در مورد فرایند ریز پوشانی مدنظر است، تعیین کارایی یا بازده کپسولاسیون می‌باشد، تا به نوعی به مؤثر بودن فرایند به کار رفته جهت تهیه کپسول‌ها پی برد. به طور کلی بازده کپسولاسیون نشان می‌دهد که چه مقدار از عصاره اولیه به کار رفته، در کپسول‌ها بارگذاری شده است (Cheraghali et al., 2016). نتایج

بررسی بازده کپسول‌ها نشان داد که بازده نانوکپسول‌های تولیدی به طور معنی داری بالاتر از میکروکپسول‌ها بود ($p < 0.05$). بین بازده میکروکپسول‌های تهیه شده با مالتودکسترین و صمغ عربی از لحاظ آماری اختلاف معنی داری وجود نداشت، در حالی که بازده نانوکپسول‌های تهیه شده با صمغ عربی بیشتر از نانوکپسول‌های تهیه شده با مالتودکسترین بود (شکل ۱).



شکل ۱- راندمان میکروکپسولاسیون و نانوکپسولاسیون عصاره ریشه بابا آدم با استفاده از مالتودکسترین و صمغ عربی
Fig. 1. Microencapsulation and nanoencapsulation efficiency of burdock root extract using maltodextrin and Arabic gum
*میکروکپسول تهیه شده با صمغ عربی (MEGA)، میکروکپسول تهیه شده با مالتودکسترین (MEM)، نانوکپسول تهیه شده با صمغ عربی (NEAG)، نانوکپسول تهیه شده با مالتودکسترین (NEM)

محققین دریافتند که با افزایش درصد صمغ عربی در ترکیب با مالتودکسترین، کارایی کپسولاسیون افزایش یافت که این امر در ارتباط با خاصیت امولسیفایری و پایدارسازی صمغ عربی دانسته شد. Akhavan Mahdavi و همکاران (۲۰۱۶) نیز به تولید کپسول‌های عصاره زرشک با استفاده از خشک کن پاششی پرداخته و از صمغ عربی، مالتودکسترین و ژلاتین به عنوان مواد پوشش‌دهی استفاده کردند و بالاترین بازده کپسولاسیون و بهترین کیفیت پودر را مربوط به کپسول‌های تهیه شده با ترکیب مالتودکسترین و صمغ عربی دانستند و بازده این کپسول‌ها به طور معنی داری بالاتر از کپسول‌های تهیه شده با مالتودکسترین به تنهایی بود (Akhavan Mahdavi et al., 2016).

بازده بالای کپسول‌های تولیدی با صمغ عربی در ارتباط با ساختار آن است. این صمغ یک هتروپلیمر قندها با انشعابات بالاست و حاوی تعداد کمی پروتئین است که به طور کووالانت به زنجیره‌های کربوهیدرات متصل شده‌اند و به عنوان یک عامل تشکیل‌دهنده فیلم عالی عمل کرده و بنابراین به خوبی می‌توان مولکول‌های هسته را به دام اندازد (Burin et al., 2011). کارایی پایین تر مالتودکسترین احتمالاً به دلیل عدم ظرفیت امولسیفایری و قابلیت فیلم‌سازی پایین آن می‌باشد (Akhavan Mahdavi et al., 2016). در تحقیقاتی مشابه Akdeniz و همکاران (۲۰۱۷) گزارش کردند که نوع ماده مورد استفاده برای پوشش‌دهی کپسول‌های حاوی ترکیبات فنولی پوست پیاز، اثر قابل توجهی بر بازده کپسولاسیون داشت (Akdeniz et al., 2017). این

توزیع اندازه ذرات کپسول‌ها

اندازه ذرات و توزیع آن‌ها نقش مهمی در ویژگی‌های فیزیکی سیستم‌های کلوئیدی مانند پایداری طی نگهداری، کدورت و ویژگی‌های رئولوژیکی دارد، همچنین بر ویژگی‌هایی مانند دسترسی زیستی، خواص ارگانولپتیکی و حسی فرآورده‌های غذایی حاوی آن موثر است (Ballesteros et al., 2017). نتایج تعیین اندازه کپسول‌ها توسط آزمون DSL نشان داد که فرایند ریزپوشانی و همچنین نوع عوامل پوشش دهی بر قطر ذرات کپسول‌ها موثر است، به طوری که بر اساس پارامترهای ترکیبی برای توزیع اندازه ذرات (D90) متوسط قطر ذرات نانوکپسول‌های تهیه شده با صمغ عربی کوچکتر بود و میکروکپسول‌های تهیه شده با مالتودکسترین بیشترین قطر ذرات را نشان دادند (جدول ۳). قطر ذرات میکروکپسول به خصوصیات ماده، غلظت، ویسکوزیته مواد ریزپوشانی و شرایط عملیات خشک‌کن بستگی دارد (Junior et al., 2018). Tadros و همکاران (۲۰۰۴) گزارش

کردند که کاهش اندازه ذرات ثابت در برابر ته‌نشینی را فراهم کرده و برای کاربردهای غذایی مناسب می‌باشد (Tadros et al., 2004). توزیع اندازه ذرات از آن جهت حائز اهمیت است که می‌توان با بهینه‌سازی آن و بدون تغییر کلی در فرمولاسیون فرآورده غذایی به ویژگی‌های مطلوب حسی و رئولوژیکی رسید (Mahmoud et al., 2016). Badfarsa و همکاران (۲۰۱۷) مشاهده کردند که نوع ماده مورد استفاده برای تهیه میکروکپسول‌ها اثر معنی‌داری بر اندازه ذرات داشت، به طوری که اندازه ذرات کپسول‌های تهیه شده با کازئینات سدیم بیشتر از انواع تهیه شده با بتاسیکلودکسترین بود (Badfarsa et al., 2017). Mahmoud و همکاران (۲۰۱۶) نیز دریافتند که نوع ماده مورد استفاده برای نانوکپسولاسیون عصاره پوست لیمو و پرتقال، اثر قابل توجهی بر اندازه ذرات داشت، به طوری که بین آلژینات و مالتودکسترین به‌عنوان ماده پوشش‌دهی، کپسول‌های تهیه شده با آلژینات اندازه ذرات کوچکتری نشان دادند (Mahmoud et al., 2016).

جدول ۳- اندازه ذرات میکرو کپسول و نانوکپسول های عصاره ریشه باب‌آدم
Table 3- Particle size of burdock root extract microencapsules and nanoencapsules
توزیع اندازه ذرات (μm)

Particle size (μm)			نمونه
D90	D50	D10	
16.86± 0.15	6.23± 0.15	1.68± 0.01	MEAG
15.50± 0.15	5.69± 0.18	1.63± 0.01	MEM
14.33 ± 0.15	5.55± 0.21	±1.72± 0.10	NEAG
15.72± 0.15	5.61± 0.12	1.83± 0.12	NEM

* میکروکپسول تهیه شده با صمغ عربی (MEGA)، میکروکپسول تهیه شده با مالتودکسترین (MEM)، نانوکپسول تهیه شده با صمغ عربی (NEAG)، نانوکپسول تهیه شده با مالتودکسترین (NEM)

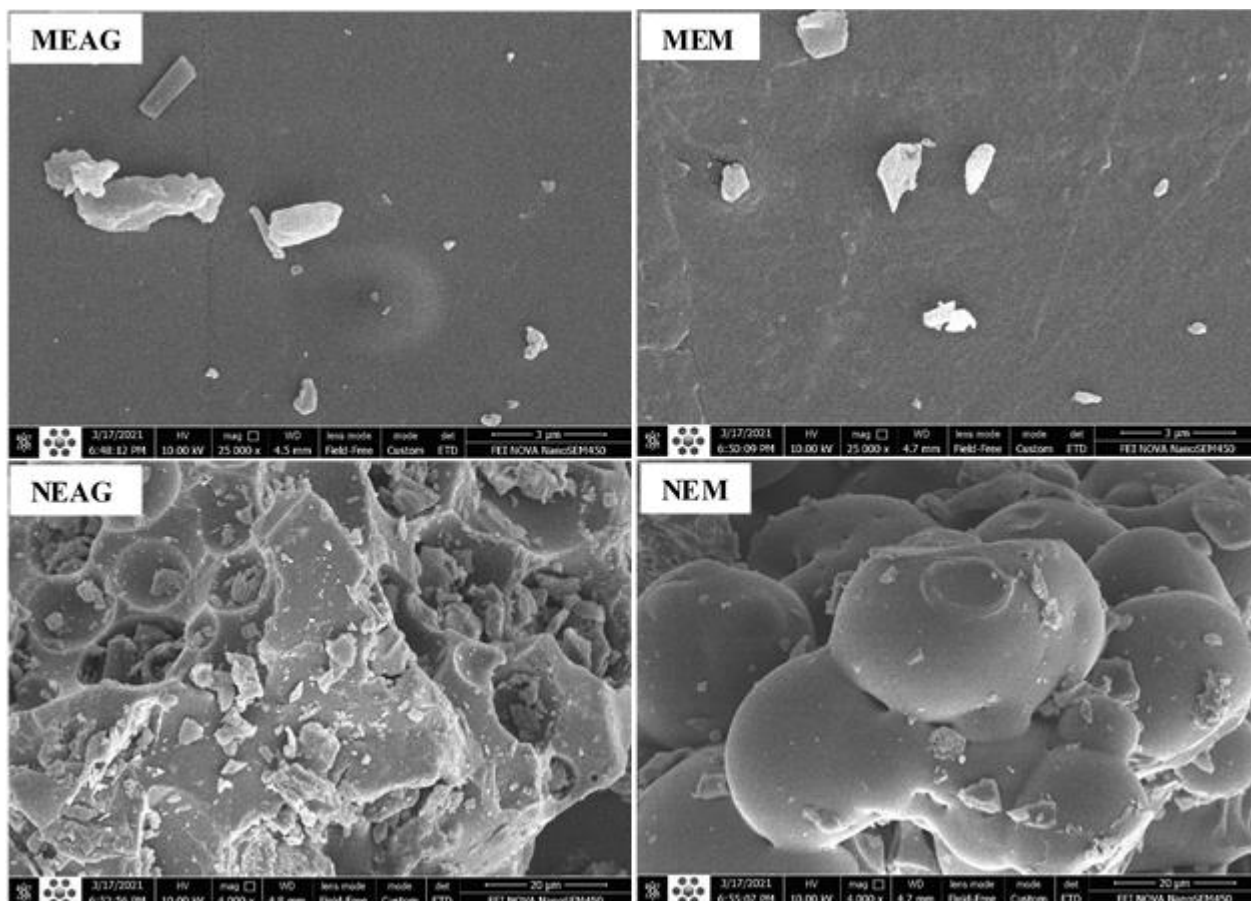
ریزساختار کپسول‌ها

مطالعه ریخت‌شناسی یا مورفولوژی ذرات کپسول با SEM اطلاعات ارزشمندی در مورد ویژگی‌های سطحی و تأثیر اجزای تشکیل‌دهنده دیواره کپسول بر ریز ساختار ذرات و همچنین شرایط خشک شدن و عوامل شیمیایی و فیزیکی موثر بر ساختار ذرات ارائه می‌دهد (Papoutsi et al, 2018). ریزساختار نمونه‌های میکرو و نانوکپسول تولیدی در پژوهش حاضر نشان داد که میکروکپسول‌های تهیه شده با عوامل پوشش‌دهی صمغ عربی و مالتودکسترین دارای سطوح ورقه‌ای مانند، ناصاف، نامنظم، شکستگی و گوشه‌دار بوده و به صورت پراکنده بودند. نانوکپسول‌های تهیه شده با صمغ عربی نیز سطوح صافی نداشته و تجمع بالایی نشان دادند و به صورت گوشه‌دار و دارای شکستگی بودند، در حالی که نانوکپسول‌های تهیه شده با مالتودکسترین سطوح کروی و نسبتاً صافی داشته و تجمع ذرات نیز در آن‌ها مشاهده می‌گردد (شکل ۲). به‌طور کلی، تشخیص مکانیسم

دقیق و علت اصلی بروز تغییرات در شکل ظاهری و ویژگی‌های سطحی کپسول‌ها نیاز به تحقیقات و مطالعات گسترده‌تری دارد، با این حال، تفاوت در شکل ظاهری و کیفیت سطحی کپسول‌ها می‌تواند ناشی از تفاوت بین قدرت پوشاندگی و ساختار فضایی صمغ عربی و مالتودکسترین باشد (Ballesteros et al., 2017). ایجاد چین و چروک‌ها و ناهم‌واری‌های سطحی و حفرات در سطح کپسول‌ها، احتمالاً نشان‌دهنده اثر تنش‌های مکانیکی ناشی از شرایط خشک کردن بر مواد دیواره می‌باشد. ترکیب دیواره و سرعت خشک کردن به ویژه در مراحل اولیه، می‌تواند بر ویژگی‌های سطحی ریز ساختار مواد انکیپسوله شده اثرگذار باشد (Akhavan Mahdavi et al., 2016). در تحقیقاتی مشابه Sharifi و همکاران (۲۰۱۵) آنتوسیانین‌های میوه زرشک را توسط خشک‌کن پاششی انکیپسوله کردند و مشاهده نمودند که کپسول‌های تهیه شده با نسبت مساوی مالتودکسترین و صمغ عربی، بهترین ریزساختار و خصوصیات فیزیکی را داشت (Sharifi et

محصولات فرعی مرکبات داشت. این محققین اظهار داشتند که در روش خشک کردن پاششی، ذرات کروی با قطرهای مختلف و با حالت مقعر تشکیل شدند، در حالی که پودرهای تولید شده توسط خشک کردن انجمادی، دارای ساختار ورقه‌ای مانند یا شبیه شیشه شکسته بودند. این محققین همچنین دریافتند که نوع ماده پوشش‌دهی بر ریزساختار کپسول‌ها تأثیر داشت (Papoutsi et al, 2018).

Ballesteros et al., 2015). و همکاران (۲۰۱۷) نیز در بررسی انکپسولاسیون ترکیبات فنولی قهوه با مالتودکسترین و صمغ عربی به‌عنوان عامل پوشش‌دهی و توسط روش خشک‌کن پاششی به نتایج مشابهی دست یافتند و کپسول‌های آن‌ها نیز کروی‌مانند و با حالت مقعر بود (Ballesteros et al., 2017). Papoutsis و همکاران (۲۰۱۸) نیز بیان کردند که روش مورد استفاده برای انکپسولاسیون، اثر قابل توجهی بر مرفولوژی کپسول‌های تولیدی حاوی عصاره



شکل ۲- تصاویر میکروسکوپ الکترونی (SEM) کپسول‌های عصاره ریشه بابا آدم

Fig. 2. The electron microscope images (SEM) of burdock root extract capsules

* میکروکپسول تهیه شده با صمغ عربی (MEGA)، میکروکپسول تهیه شده با مالتودکسترین (MEM)، نانو کپسول تهیه شده با صمغ عربی (NEAG)، نانو کپسول تهیه شده با مالتودکسترین (NEM)

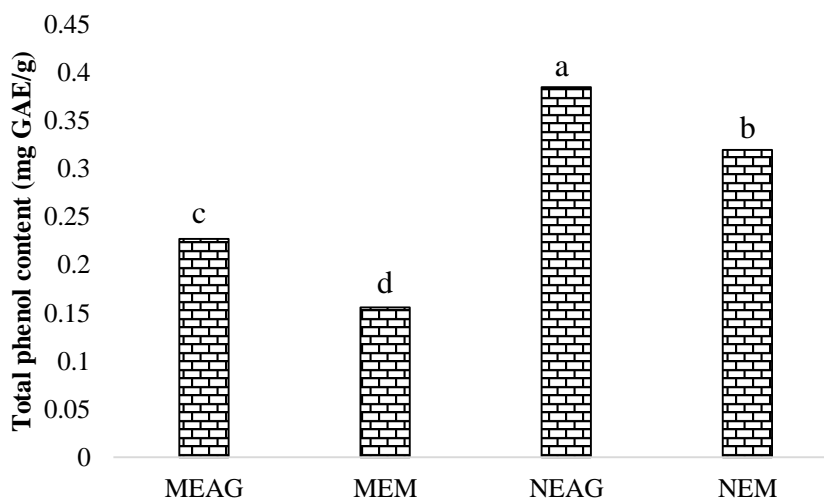
میکرو کپسول‌ها داشتند ($p < 0.05$). محتوای فنول کل کپسول‌های تولیدی در این تحقیق در محدوده $0.385 - 0.156$ mg GAE/g قرار داشت (شکل ۳). کمتر بودن محتوای فنول کل و فعالیت آنتی‌اکسیدانی میکرو کپسول‌های عصاره ریشه بابا آدم نسبت به نانو کپسول‌ها احتمالاً در ارتباط با تفاوت در روش مورد استفاده برای خشک کردن آن‌ها بر می‌گردد. برای تهیه میکرو کپسول‌ها از خشک‌کن پاششی و برای تولید نانو کپسول‌ها از خشک‌کن انجمادی

محتوای فنول کل کپسول‌ها

نتایج حاصل از بررسی محتوای فنول کل نمونه‌های مختلف میکرو و نانو کپسول‌های تولیدی در پژوهش حاضر نشان داد که هم در فرآیند میکرو کپسولاسیون و هم فرآیند نانو کپسولاسیون، کپسول‌های تهیه شده با صمغ عربی دارای محتوای بالاتر فنول کل نسبت به کپسول‌های تهیه شده با مالتودکسترین بودند ($p < 0.05$). همچنین، نانو کپسول‌های تولیدی فنول کل بالاتری نسبت به

استفاده گردید. در خشک‌کن پاششی، به دلیل دمای بالای بخش تزریق‌کننده، بخشی از ترکیبات فنولی عصاره تخریب شده و فعالیت آنتی‌اکسیدانی نیز کاهش می‌یابد (Jia et al., 2016). در خشک‌کن انجمادی نیز بخشی از ترکیبات فنولی در اثر استرس‌های انجماد و خشک کردن تخریب می‌شوند (Papoutsi et al., 2018)، ولی ظاهراً در پژوهش حاضر تخریب ترکیبات توسط خشک‌کن پاششی بالاتر از خشک‌کن انجمادی بوده است.

و همکاران (۲۰۰۸) ترکیبات فنولی میوه تمسک شمالی را با مواد دیواره مختلف کپسوله کردند و بهترین نتایج را با استفاده از مالتودکسترین به‌عنوان پوشش گزارش کردند (Tonon et al., 2008).



شکل ۳- مقایسه محتوای فنول کل (mg GAE/g) میکرو و نانوکپسول‌های عصاره ریشه باب‌آدم

Fig. 3. Comparison of total phenol content (mg GAE/g) of burdock root extract micro and nanoencapsules
*میکروکپسول تهیه شده با صمغ عربی (MEGA)، میکروکپسول تهیه شده با مالتودکسترین (MEM)، نانوکپسول تهیه شده با صمغ عربی (NEAG)، نانوکپسول تهیه شده با مالتودکسترین (NEM)

دوره نگهداری در نوشیدنی‌ها، به دلیل تغییرات اسیدیته، حضور اکسیژن یا کاهش سطح ترکیبات نیتروژنی می‌باشد. قابلیت رشد و بقا میکروارگانیسم‌ها به‌طور زیادی وابسته به تطبیق‌پذیری آن‌ها با محیط زیست دارد (Lacroix & Yildirim, 2007). کاهش در فعالیت آنتی‌اکسیدانی نوشیدنی‌ها طی دوره نگهداری نیز یکی از دلایل کاهش تعداد پروبیوتیک‌های زنده گزارش شده است (Yoon et al., 2005). Naga Sivudu و همکاران (۲۰۱۶) با تولید آب گوجه‌فرنگی و آب هویج پروبیوتیک مشاهده کردند که در طی ۷ هفته نگهداری در دمای یخچال، تعداد باکتری‌های پروبیوتیک در نوشیدنی‌ها کاهش یافت، ولی تا روز آخر همچنان تعداد سلول‌های زنده پروبیوتیک‌ها در حد قابل قبول بود (Naga Sivudu et al., 2016).

افزودن فرم‌های مختلف عصاره و افزایش سطح آن‌ها منجر به افزایش قابل توجه قابلیت زنده‌مانی پروبیوتیک‌ها در نوشیدنی‌های

ارزیابی پارامترهای نوشیدنی سین‌بیوتیک آب پرتقال-هویج

زنده‌مانی پروبیوتیک‌ها

نتایج حاصل بر سر زنده‌مانی پروبیوتیک‌ها در نوشیدنی ترکیبی آب پرتقال-هویج نشان داد که در روز اول، بین تعداد پروبیوتیک‌ها در تیمارهای مختلف نوشیدنی اختلاف معنی‌داری وجود نداشت و تعداد این باکتری‌ها در محدوده $\log \text{CFU/ml}$ $8.63 - 8.58$ قرار داشت. طی دوره نگهداری در کلیه تیمارهای نوشیدنی، تعداد باکتری‌های پروبیوتیک کاهش نشان داد ($p < 0.05$) و بیشترین شدت کاهش پروبیوتیک‌ها در نمونه شاهد مشاهده گردید (جدول ۴). محققین، کاهش پروبیوتیک‌ها در آب‌میوه طی دوره انبارمانی را به کاهش pH و افزایش اسیدیته نسبت دادند (Yoon et al., 2005). محققین همچنین اظهار داشتند که کاهش در بقا پروبیوتیک‌ها طی

بنابراین سبب جلوگیری از آسیب‌های سلولی ایجاد شده توسط اسیدیتته می‌گردد (Khezri et al., 2018). تأثیر عصاره ریشه بابا آدم در افزایش قابلیت زنده ماندن پروبیوتیک‌ها در نوشیدنی‌ها علاوه بر حضور پری‌بیوتیک اینولین، به دلیل حضور ترکیبات فنولی دارای خصوصیات آنتی‌اکسیدانی می‌باشد. زیرا یکی از روش‌های بهبود پایداری باکتری‌های پروبیوتیک در آب میوه‌ها، غنی‌سازی با ترکیبات آنتی‌اکسیدانی می‌باشد. نقش محافظت‌کنندگی ترکیبات آنتی‌اکسیدانی بر روی سلول‌های پروبیوتیک در آب میوه‌ها، توسط محققین مورد تأیید قرار گرفته است (Souri et al., 2019).

تولیدی گردید ($p < 0.05$). ریزپوشانی عصاره نیز قابلیت زنده ماندن باکتری‌های پروبیوتیک در نوشیدنی‌ها را افزایش داد و بیشترین تأثیر مربوط به نانوکپسول‌های تهیه شده با صمغ عربی در سطح ۱ درصد بود و نانوکپسول صمغ عربی در سطح ۰/۵ درصد و نانوکپسول مالتودکسترین در سطح ۱ درصد پس از آن قرار داشتند. مکانیسم اصولی حفاظت پروبیوتیک‌ها توسط اینولین طی دوره نگهداری در یخچال، به‌طور زیادی در ارتباط با این حقیقت است که اینولین به‌عنوان منبع کربنی در دسترس برای حفظ سلول به کار رفته و

جدول ۴- مقایسه زنده‌مانی باکتری‌های پروبیوتیک (Log CFU/ml) در تیمارهای مختلف نوشیدنی سین‌بیوتیک بر پایه آب پرتقال-هویج طی دوره نگهداری

Table 4- Comparison of the probiotic bacteria survival (Log CFU/ml) in different symbiotic beverage treatments based on orange-carrot juice during storage period

	زمان نگهداری (روز)				
	30	20	10	1	
	5.40±0.07 ^{D,i}	6.78±0.04 ^{C,i}	7.46±0.04 ^{B,h}	8.60±0.05 ^{A,a}	Ctrl
	6.14±0.02 ^{D,h}	6.91±0.04 ^{C,h}	7.70±0.05 ^{B,g}	8.61±0.02 ^{A,a}	T1
	6.26±0.02 ^{D,g}	7.33±0.01 ^{C,f}	7.96±0.02 ^{B,e}	8.60±0.03 ^{A,a}	T2
	6.42±0.03 ^{D,f}	7.25±0.01 ^{C,g}	7.79±0.03 ^{B,g}	8.59±0.03 ^{A,a}	T3
	6.89±0.02 ^{D,d}	7.48±0.04 ^{C,e}	8.07±0.01 ^{B,d}	8.56±0.03 ^{A,a}	T4
	6.91±0.02 ^{D,d}	7.61±0.07 ^{C,d}	7.89±0.03 ^{B,f}	8.56±0.03 ^{A,a}	T5
	7.09±0.04 ^{D,b,c}	7.80±0.04 ^{C,c}	8.15±0.01 ^{B,c}	8.56±0.04 ^{A,a}	T6
	6.82±0.04 ^{D,e}	7.58±0.03 ^{C,d}	7.93±0.04 ^{B,e,f}	8.58±0.05 ^{A,a}	T7
	7.03±0.03 ^{D,c}	7.94±0.02 ^{C,b}	8.17±0.01 ^{B,c}	8.61±0.06 ^{A,a}	T8
	7.10±0.02 ^{D,b}	7.91±0.02 ^{C,b}	8.21±0.02 ^{B,b}	8.59±0.06 ^{A,a}	T9
	7.38±0.01 ^{D,a}	8.07±0.01 ^{C,a}	8.33±0.01 ^{B,a}	8.63±0.04 ^{A,a}	T10

*حروف لاتین بزرگ بیانگر وجود اختلاف معنی‌دار بین مقادیر هر ردیف در سطح احتمال ۵٪ می‌باشد (مقایسه تغییرات هر تیمار طی زمان).

*حروف لاتین کوچک بیانگر وجود اختلاف معنی‌دار بین مقادیر هر ستون در سطح احتمال ۵٪ می‌باشد (مقایسه تیمارها در هر زمان ثابت).

آب انجیر با اینولین و لاکتوباسیلوس دلبروکی پرداخته و نشان دادند که با گذشت زمان تعداد سلول‌های زنده باکتری پروبیوتیک در نوشیدنی‌ها به‌طور قابل توجهی کاهش یافت به‌طوری که پس از ۴ هفته نگهداری در یخچال شمارش آن به 6.59 Log cfu/ml رسید، در حالیکه استفاده از اینولین به‌عنوان پری‌بیوتیک توانست تعداد پروبیوتیک‌های زنده مانده را تا پایان نگهداری افزایش دهد (Log cfu/ml ۷/۴۹)، که با نتایج پژوهش حاضر کاملاً مطابقت دارد (Khezri et al., 2018). Pimentel و همکاران (۲۰۱۵) نیز در بررسی بقاء لاکتوباسیلوس پاراکازئی در آب سیب گزارش کردند که طی دوره نگهداری ۲۸ روزه در دمای یخچال، تعداد پروبیوتیک‌ها در تیمارهای نوشیدنی به‌طور معنی‌داری کاهش یافت، ولی تعداد آن در نوشیدنی سین‌بیوتیک حاوی پری‌بیوتیک اولیگوفروکتوز همواره بالاتر از نوشیدنی پروبیوتیک بود (Pimentel et al., 2015).

به‌منظور بهره‌مندی از خواص سلامت بخش باکتری‌های پروبیوتیک، حداقل سلول زنده توصیه شده در فرآورده‌ها cfu/ml $10^6 - 10^7$ تعیین شده است (Lebaka et al., 2018). بنابراین، زنده‌مانی کشت پروبیوتیک در طول دوره نگهداری از اهمیت زیادی برخوردار است. نتایج پژوهش حاضر نشان داد که همه تیمارهای مورد مطالعه به استثنای شاهد، تا روز آخر انبارمانی دارای تعداد پروبیوتیک‌ها در حد مطلوب بود، ولی در نمونه شاهد تا روز بیستم تعداد پروبیوتیک‌ها تا حد مطلوب بود و در روز سی‌ام به کمتر از تعداد توصیه شده رسید. نتایج حاصله توسط Sheehan و همکاران (۲۰۰۷) نشان داد که لاکتوباسیلوس کازئی و لاکتوباسیلوس پاراکازئی قابلیت زیستی خوبی در نوشیدنی‌های میوه‌ای داشته و در آب پرتقال بیش از 10^7 cfu/ml و در آب آناناس بیش از 10^6 cfu/ml به مدت ۱۲ هفته باقی ماندند (Sheehan et al., 2007). Khezri و همکاران (۲۰۱۸) به غنی‌سازی

اسیدیتته کل

مقادیر pH و اسیدیتته، از عوامل مهم در تهیه یک فرآورده پروبیوتیکی محسوب می‌شوند، زیرا کاهش pH در مدت زمان نگهداری محصول با افزایش اسیدیتته توسط باکتری‌ها همراه است. همچنین بیشترین اسید تولید شده، اسید لاکتیک می‌باشد. میزان تولید اسید در محصولات غذایی باید در حد مطلوب باشد تا بر طعم و مزه فرآورده تأثیر نامطلوب نگذارد (Bruno et al., 2009). علاوه بر این، pH یکی از مهم‌ترین فاکتورهای تأثیرگذار بر زنده‌مانی باکتری‌های پروبیوتیک است (Souri et al., 2019). نتایج حاصل از بررسی اسیدیتته کل تیمارهای مختلف نوشیدنی آب پرتقال- هویج سین‌بیوتیک نشان داد که در روز اول، میانگین مقادیر اسیدیتته کل نوشیدنی‌های تولیدی در محدوده ۰/۹۵۴- ۰/۸۲۸ در صد قرار داشت (جدول ۵). با افزایش غلظت فرم‌های مختلف عصاره ریشه باب‌آدم در

نوشیدنی‌ها، میزان اسیدیتته کل کاهش یافت، در حالیکه طی دوره نگهداری در کلیه تیمارهای نوشیدنی، مقادیر اسیدیتته کل به تدریج افزایش نشان داد ($p < 0.05$). افزایش اسیدیتته نوشیدنی‌ها طی دوره نگهداری به دلیل مصرف قند توسط باکتری‌ها و تولید اسید، می‌باشد. افزایش اسیدیتته در روزهای اول انبارمانی با سرعت بیشتری صورت گرفت که به تعداد بالاتر باکتری‌های پروبیوتیک در محصول مربوط می‌شود. در روزهای پایانی به دلیل حضور تعداد کمتر باکتری‌های پروبیوتیک در نوشیدنی‌ها، قابلیت تولید اسید نیز کاهش یافته است. به‌طور کلی، به استثناء تیمار حاوی ۱ درصد میکروکپسول تهیه شده با صمغ عربی، سایر تیمارهای حاوی میکرو و نانوکپسول‌های عصاره ریشه باب‌آدم دارای مقادیر اسیدیتته بالاتری نسبت به شاهد بودند (جدول ۵).

جدول ۵- مقایسه مقادیر اسیدیتته کل (%) تیمارهای مختلف نوشیدنی سین‌بیوتیک بر پایه آب پرتقال-هویج طی دوره نگهداری

Table 5- Comparison of the acidity values (%) of different symbiotic beverage treatments based on orange-carrot juice during storage period

زمان نگهداری (روز)					Ctrl
Storage time (Day)					
30	20	10	1		
1.02 ± 0.00 ^{A,ef}	1.03 ± 0.00 ^{A,d}	1.03 ± 0.00 ^{A,c}	0.87 ± 0.00 ^{B,c}		
1.03 ± 0.01 ^{A,de}	1.03 ± 0.00 ^{B,e}	0.99 ± 0.00 ^{C,d}	0.85 ± 0.00 ^{C,cd}		T1
1.02 ± 0.00 ^{A,f}	1.00 ± 0.00 ^{B,f}	0.98 ± 0.00 ^{C,d}	0.83 ± 0.00 ^{D,d}		T2
1.09 ± 0.00 ^{A,b}	1.07 ± 0.00 ^{B,a}	1.06 ± 0.00 ^{C,a}	0.88 ± 0.00 ^{D,b}		T3
1.07 ± 0.00 ^{A,c}	1.04 ± 0.00 ^{B,cd}	1.03 ± 0.00 ^{C,bc}	0.86 ± 0.00 ^{D,c}		T4
1.09 ± 0.00 ^{A,b}	1.06 ± 0.00 ^{B,b}	1.02 ± 0.00 ^{C,c}	0.86 ± 0.00 ^{D,c}		T5
1.02 ± 0.00 ^{A,ef}	1.01 ± 0.00 ^{B,e}	0.98 ± 0.00 ^{C,d}	0.84 ± 0.00 ^{D,d}		T6
1.12 ± 0.00 ^{A,a}	1.07 ± 0.00 ^{B,a}	1.07 ± 0.00 ^{B,a}	0.95 ± 0.01 ^{C,a}		T7
1.09 ± 0.00 ^{A,b}	1.05 ± 0.00 ^{B,bc}	1.02 ± 0.00 ^{C,c}	0.89 ± 0.00 ^{D,b}		T8
1.09 ± 0.01 ^{A,b}	1.07 ± 0.00 ^{B,a}	1.03 ± 0.00 ^{C,b}	0.88 ± 0.00 ^{D,b}		T9
1.05 ± 0.0 ^{A,d}	1.05 ± 0.00 ^{A,c}	1.03 ± 0.00 ^{B,bc}	0.86 ± 0.00 ^{C,c}		T10

*حروف لاتین بزرگ بیانگر وجود اختلاف معنی‌دار بین مقادیر هر ردیف در سطح احتمال ۵٪ می‌باشد (مقایسه تغییرات هر تیمار طی زمان).

*حروف لاتین کوچک بیانگر وجود اختلاف معنی‌دار بین مقادیر هر ستون در سطح احتمال ۵٪ می‌باشد (مقایسه تیمارها در هر زمان ثابت).

Liong و Yeo (۲۰۱۰) نشان دادند که افزودن اینولین به شیر سویا به‌طور معنی‌داری سبب افزایش تولید اسید توسط پروبیوتیک‌ها در مقایسه با نمونه شاهد گردید (Liong and Yeo, 2010). Rafigh و همکاران (۲۰۱۶) آب هویج پروبیوتیک را با استفاده از سویه‌های لاکتوباسیلوس پلاتناروم، کازئی، اسیدوفیلوس و بیفیدوم لانگوم تولید کرده و مشاهده نمودند که در طی دوره نگهداری، میزان pH نوشیدنی‌ها کاهش و اسیدیتته قابل‌تیراسیون افزایش پیدا کرد (Rafigh et al., 2016). Khezri و همکاران (۲۰۱۸) افزایش میزان اسیدیتته در آب انجیر پروبیوتیک طی دوره نگهداری را مشاهده کردند و بیان نمودند که مقادیر اسیدیتته آب انجیر سین‌بیوتیک حاوی اینولین

بالاتر بودن میزان اسیدیتته در نوشیدنی‌های حاوی کپسول‌های عصاره ریشه باب‌آدم، احتمالاً به دلیل نقش پری‌بیوتیکی اینولین موجود در این عصاره می‌باشد که موجب افزایش قابلیت زنده‌مانی پروبیوتیک‌ها در نوشیدنی‌ها شده و در نتیجه تولید اسید در نمونه‌ها افزایش یافته است. محققین اظهار داشتند که این موضوع به دلیل نقش تنظیم‌کنندگی فعالیت متابولیکی باکتری‌ها توسط اینولین می‌باشد که موجب بهبود توسعه اسیدیتته می‌گردد. اسیدیتته بالای محصولات پروبیوتیک می‌تواند نقش محافظت‌کنندگی در برابر توسعه و پیشرفت میکروارگانیسم‌های عامل فساد غذایی و توسعه دوره ماندگاری آن‌ها داشته باشد (Khezri et al., 2018). در همین راستا

کیفیت و پایداری محصول بررسی کنیم. زمانی ویسکوزیته افزایش یابد، پایداری محصول از طریق حفظ ترکیبات نامحلول در سوسپانسیون حفظ شده و یکنواختی محلول‌ها حفظ می‌گردد (Rossman, 2009). نتایج حاصل از بررسی ویسکوزیته نمونه‌های مختلف نوشیدنی آب پرتقال- هویج سین‌بیوتیک نشان داد که مقادیر ویسکوزیته تیمارهای مختلف نوشیدنی در محدوده CP ۷/۶۷ - ۲۸/۶۷ قرار داشت (جدول ۶).

به‌طور معنی‌داری بالاتر از شاهد و نوشیدنی پروبیوتیک بود (Khezri et al., 2018).

ویسکوزیته

آنالیز ویسکوزیته، یک روش ساده ولی سریع است که برای ارزیابی تمامیت سرعت مخلوط کردن اجزای فرمولاسیون به کار می‌رود. ارزیابی میزان ویسکوزیته به ما این قابلیت را می‌دهد تا تأثیر میزان سطح مواد جامد، درجه امولسیون‌کنندگی و هیدرولیز را بر

جدول ۶- مقایسه مقادیر ویسکوزیته (cp) تیمارهای مختلف نوشیدنی سین‌بیوتیک بر پایه آب پرتقال-هویج طی دوره نگهداری
Table 6- Comparison of the viscosity values (cp) of different symbiotic beverage treatments based on orange-carrot juice during storage period

زمان نگهداری (روز)				
Storage time (Day)				
30	20	10	1	
7.67± 1.15 ^{B,g}	8.33± 1.53 ^{B,g}	11.00± 1.00 ^{A,g}	11.33± 0.58 ^{A,g}	Ctrl
10.67± 0.58 ^{B,f}	12.00± 1.00 ^{AB,f}	12.33± 0.58 ^{A,g}	12.33± 0.58 ^{A,g}	T1
12.33± 0.58 ^{B,e}	14.33± 0.58 ^{A,e}	14.67± 0.58 ^{A,f}	14.67± 0.58 ^{A,f}	T2
14.33± 0.58 ^{C,d}	15.67± 0.58 ^{B,d}	17.00± 1.00 ^{AB,de}	17.33± 0.58 ^{A,e}	T3
18.67± 0.58 ^{A,c}	19.00± 1.00 ^{A,c}	19.33± 0.58 ^{A,c}	19.33± 0.58 ^{A,d}	T4
23.67± 0.58 ^{A,ab}	24.00± 1.00 ^{A,ab}	25.33± 0.58 ^{A,b}	25.67± 0.58 ^{A,b}	T5
24.33± 0.58 ^{B,a}	24.67± 0.58 ^{B,a}	28.67± 1.15 ^{A,a}	28.67± 0.58 ^{A,a}	T6
15.33± 0.58 ^{B,d}	15.67± 0.58 ^{AB,d}	16.33± 0.58 ^{AB,e}	16.67± 0.58 ^{A,e}	T7
18.33± 0.58 ^{A,c}	18.67± 0.58 ^{A,c}	19.00± 1.00 ^{A,cd}	19.33± 0.58 ^{A,d}	T8
22.67± 0.58 ^{A,b}	22.67± 0.58 ^{A,b}	23.67± 1.15 ^{A,b}	23.33± 0.58 ^{A,c}	T9
24.33± 0.58 ^{A,a}	24.67± 0.58 ^{A,a}	25.33± 0.58 ^{A,b}	25.33± 0.58 ^{A,b}	T10

*حروف لاتین بزرگ بیانگر وجود اختلاف معنی‌دار بین مقادیر هر ردیف در سطح احتمال ۵٪ می‌باشد (مقایسه تغییرات هر تیمار طی زمان).
*حروف لاتین کوچک بیانگر وجود اختلاف معنی‌دار بین مقادیر هر ستون در سطح احتمال ۵٪ می‌باشد (مقایسه تیمارها در هر زمان ثابت).

Zokti James و همکاران (۲۰۱۶) مشاهده کردند که در نوشیدنی انبه حاوی عصاره چای سبز آزاد و انکپسوله شده با مواد پوشش‌دهی مختلف، بیشترین میزان ویسکوزیته در روز اول مربوط به نوشیدنی‌های حاوی بالاترین سطح میکروکپسول‌های حاوی چای سبز تهیه شده با صمغ عربی بود که با نتایج پژوهش حاضر مطابقت داشت (Zokti et al., 2016). در برخی تیمارها در ابتدای دوره نگهداری تغییرات افزایشی و یا کاهش‌دهی در میزان ویسکوزیته مشاهده شد و سپس تقریباً ویسکوزیته تغییر قابل توجهی نداشت، در حالی که در برخی دیگر از تیمارها، میزان ویسکوزیته طی زمان به تدریج کاهش یافت. تأثیر افزایشی در ویسکوزیته محصولات غذایی مایع در اثر افزودن اینولین، توسط سایر محققین نشان داده شده است (Gibson et al., 1995). Sardarifar و همکاران (۲۰۱۸)، افزایش ویسکوزیته آب سیب در حضور هیدروکلوئیدهای پکتین و صمغ عربی را گزارش کردند. این محققان بیان کردند که به دلیل وزن مولکولی بالاتر صمغ عربی نسبت به پکتین، نوشیدنی‌های حاوی کپسول‌های تهیه شده با

کمترین میزان ویسکوزیته در کلیه بازه‌های زمانی مورد مطالعه در این تحقیق مربوط به شاهد بود و افزایش غلظت فرم آزاد و میکرو و نانوکپسول‌های عصاره در نوشیدنی‌ها منجر به افزایش معنی‌دار میزان ویسکوزیته گردید ($p < 0.05$). به‌طور کلی بیشترین ویسکوزیته در نوشیدنی حاوی ۱ درصد میکروکپسول تهیه شده با صمغ عربی به دست آمد. افزودن هر ترکیبی، مخصوصاً ترکیبات با وزن مولکولی بالا نظیر هیدروکلوئیدها، می‌تواند بر ویسکوزیته آب‌میوه مؤثر باشد. هیدروکلوئیدها قدرت جذب آب بالایی دارند و بنابراین با اتصال به مولکول‌های آب و تشکیل شبکه ژلی می‌توانند باعث افزایش ویسکوزیته شوند (Hosseinnia et al., 2017). به دلیل وزن مولکولی بالاتر صمغ عربی نسبت به مالتودکسترین و همچنین قابلیت جذب آب بالاتر آن، کپسول‌های تهیه شده با صمغ عربی ویسکوزیته بالاتری نسبت به کپسول‌های حاوی مالتودکسترین ایجاد کردند. همچنین مشخص شد طی دوره نگهداری به تدریج میزان ویسکوزیته نوشیدنی‌ها کاهش یافت.

صمغ عربی ویسکوزیته بالاتری نشان دادند (Sardarifar et al., 2018).

و وارد واکنش مایلارد می‌شوند، در نتیجه رنگ آب‌میوه تیره خواهد شد. از آنجایی که مقدار فرمالین مجاز از نظر سازمان جهانی بهداشت برای آب میوه‌جات تا ۲۲/۴ mg/kg می‌باشد (Khakbaz Heshmati & Khoshghadam, 2017) و مقادیر فرمالین به‌دست آمده در پژوهش حاضر در محدوده ۳/۶۰-۳/۳۳ است (جدول ۷)، بنابراین در نوشیدنی‌های میوه‌ای تولیدی در پژوهش حاضر، مشکل بالا بودن مقدار فرمالین وجود ندارد.

عدد فرمالین

عدد فرمالین بیانگر مقادیر اسیدهای آمینه و پروتئین‌ها در نوشیدنی‌ها می‌باشد. این آزمون از این جهت دارای اهمیت است که اگر مقدار اسیدهای آمینه در آب‌میوه بالا باشد، با قند میوه ترکیب شده

جدول ۷- مقایسه مقادیر عدد فرمالین تیمارهای مختلف نوشیدنی سین‌بیوتیک بر پایه آب پرتقال-هویج طی دوره نگهداری

Table 7- Comparison of the formalin number values of different symbiotic beverage treatments based on orange-carrot juice during storage period

زمان نگهداری (روز)		Storage time (Day)		
30	20	10	1	
3.33±0.06 ^{C,c}	3.43±0.06 ^{BC,c}	3.47±0.06 ^{AB,b}	3.50±0.00 ^{A,b}	Ctrl
3.53±0.06 ^{B,b}	3.53±0.06 ^{B,bc}	3.57±0.06 ^{AB,ab}	3.60±0.00 ^{A,a}	T1
3.53±0.06 ^{B,b}	3.53±0.06 ^{B,bc}	3.57±0.06 ^{AB,ab}	3.60±0.00 ^{A,a}	T2
3.57±0.06 ^{A,ab}	3.57±0.06 ^{A,ab}	3.57±0.06 ^{A,ab}	3.60±0.00 ^{A,a}	T3
3.57±0.06 ^{A,ab}	3.60±0.00 ^{A,a}	3.60±0.00 ^{A,a}	3.60±0.00 ^{A,a}	T4
3.57±0.06 ^{A,ab}	3.60±0.00 ^{A,a}	3.60±0.00 ^{A,a}	3.60±0.00 ^{A,a}	T5
3.60±0.00 ^{A,a}	3.60±0.00 ^{A,a}	3.60±0.00 ^{A,a}	3.60±0.00 ^{A,a}	T6
3.60±0.00 ^{A,a}	3.60±0.00 ^{A,a}	3.60±0.00 ^{A,a}	3.60±0.00 ^{A,a}	T7
3.57±0.06 ^{A,ab}	3.57±0.06 ^{A,ab}	3.57±0.06 ^{A,a}	3.60±0.00 ^{A,a}	T8
3.60±0.00 ^{A,a}	3.60±0.00 ^{A,a}	3.60±0.00 ^{A,a}	3.60±0.00 ^{A,a}	T9
3.60±0.00 ^{A,a}	3.60±0.00 ^{A,a}	3.60±0.00 ^{A,a}	3.60±0.00 ^{A,a}	T10

*حروف لاتین بزرگ بیانگر وجود اختلاف معنی‌دار بین مقادیر هر ردیف در سطح احتمال ۵٪ می‌باشد (مقایسه تغییرات هر تیمار طی زمان).

*حروف لاتین کوچک بیانگر وجود اختلاف معنی‌دار بین مقادیر هر ستون در سطح احتمال ۵٪ می‌باشد (مقایسه تیمارها در هر زمان ثابت).

فرمالین ایجاد نکرد. این محققین همچنین بیان کردند که طی دوره نگهداری، عدد فرمالین نوشیدنی‌ها در ابتدا کاهش یافت و سپس به حالت اولیه خود برگشت (Hosseini et al., 2016). زمانی که باکتری‌ها از قندها به‌عنوان منبع انرژی استفاده می‌کنند، عدد فرمالین کاهش می‌یابد و با کاهش مصرف قندها و مصرف بالاتر اسیدهای آمینه، عدد فرمالین افزایش نشان می‌دهد. Khakbaz Heshmati و Khoshghadam (۲۰۱۷) نیز بیان کردند که غنی‌سازی نوشیدنی ترکیبی آلبالو و انگور قرمز با فیبر رژیمی اینولین به‌عنوان محصولی پری‌بیوتیک، اثر قابل توجهی بر میزان عدد فرمالین نوشیدنی‌های تولیدی نداشت (Khakbaz Heshmati & Khoshghadam, 2017).

کدورت

نتایج حاصل از بررسی کدورت نوشیدنی‌های سین‌بیوتیک بر پایه آب پرتقال-هویج حاوی فرم‌های مختلف عصاره ریشه باب‌آدم نشان داد (جدول ۸) که کمترین میزان کدورت مربوط به نمونه شاهد بود و

به‌طور کلی، کمترین میزان عدد فرمالین مربوط به نمونه شاهد بود و افزودن فرم‌های مختلف عصاره ریشه باب‌آدم به نوشیدنی‌های سین‌بیوتیک تولیدی موجب افزایش معنی‌دار عدد فرمالین نسبت به شاهد گردید ($p < 0.05$). در روزهای دهم و بیستم، نمونه‌های حاوی فرم آزاد عصاره ریشه باب‌آدم عدد فرمالین کمتری نسبت به نمونه‌های حاوی میکرو و نانوکپسول‌ها داشتند. در تیمارهای نوشیدنی حاوی میکرو و نانوکپسول‌های عصاره طی دوره نگهداری تغییر قابل توجهی در عدد فرمالین مشاهده نشد، ولی در نمونه شاهد از روز اول تا روز آخر انبارمانی عدد فرمالین به تدریج کاهش یافت (جدول ۷). در تحقیقاتی مشابه Hosseini و همکاران (۲۰۱۶) با بررسی تأثیر باکتری‌های پروبیوتیک و اینولین بر ویژگی‌های کیفی آب‌میوه‌های آلبالو و سیب صنعتی نشان دادند که نوع باکتری پروبیوتیک مورد بررسی بر عدد فرمالین نوشیدنی‌ها تأثیر دارد. به‌طوری که در نوشیدنی‌های حاوی لاکتوباسیلوس / سیدوفیلوس با افزایش اینولین، عدد فرمالین نیز افزایش یافت، ولی در نوشیدنی‌های حاوی لاکتوباسیلوس کارژی، افزایش سطح اینولین تغییر چندانی در عدد

بخشی از ذرات موجود در نوشیدنی‌ها طی دوره انبارمانی می‌باشد. در تحقیقاتی مشابه Pereira و همکاران (۲۰۱۱) نیز افزایش کدورت در نوشیدنی‌های آب سیب پروبیوتیک حاوی لاکتوبا سیلوس کازئی طی دوره نگهداری در یخچال را گزارش کردند (Pereira et al., 2011). همچنین Khoshghadam و Khakbaz Heshmati (۲۰۱۷) در بررسی تأثیر غنی‌سازی با اینولین بر خواص کیفی نوشیدنی ترکیبی آب آلبالو و انگور قرمز مشاهده کردند که افزودن اینولین به نوشیدنی موجب افزایش کدورت گردید، که با نتایج پژوهش حاضر مطابقت داشت (Khakbaz Heshmati & Khoshghadam, 2017). این نتایج با مشاهدات Santos و همکاران (۲۰۱۹) نیز مطابقت دارد بطوریکه این محققان نشان دادند که در آب نیشکر غنی‌سازی شده با لاکتوباسیلوس کازئی و پری‌بیوتیک‌ها، طی دوره نگهداری ۲۸ روزه در ابتدا کدورت به طور معنی‌داری کاهش یافت و سپس مجدداً افزایش پیدا کرد (Santos et al., 2019). Arilla و همکاران (۲۰۲۰) نیز مشاهده کردند که افزودن مالتودکسترین به آب پرتقال موجب افزایش کدورت نوشیدنی‌های تولیدی گردید (Arilla et al., 2020).

افزایش غلظت فرم آزاد و میکرو و نانوکپسول‌های عصاره در نوشیدنی‌ها منجر به افزایش معنی‌دار میزان کدورت گردید ($p < 0.05$). بیشترین کدورت در نوشیدنی حاوی ۱ درصد میکروکپسول تهیه شده با صمغ عربی به‌دست آمد. در کلیه تیمارها از روز اول تا روز سی‌ام انبارمانی، میزان کدورت افزایش یافت به‌طوری‌که در پایان دوره نگهداری بیشترین میزان کدورت مربوط به نوشیدنی‌های حاوی ۱ درصد میکروکپسول صمغ عربی بود (۱/۵۷۱ NTU) و نوشیدنی حاوی ۱ درصد نانوکپسول صمغ عربی (۱/۵۶۰ NTU) پس از آن قرار داشت که نسبت به نمونه شاهد (۱/۳۵۴ NTU) این اختلاف معنی‌دار بود ($p < 0.05$). کدورت، غلظت ذرات پراکنده شده در یک محلول را توسط اندازه‌گیری خصوصیات به‌دام‌اندازی نوری آن، نشان می‌دهد (Vaillant et al., 2008). از این‌رو، استفاده از عصاره ریشه بابا آدم و صمغ عربی و مالتودکسترین به‌عنوان عوامل پوشش‌دهی کپسول‌ها توانست با افزایش غلظت ذرات پراکنده در نوشیدنی، کدورت را افزایش دهد. افزایش کدورت طی زمان نیز احتمالاً به دلیل رسوب

جدول ۸- مقایسه مقادیر کدورت (NTU) تیمارهای مختلف نوشیدنی سین‌بیوتیک بر پایه آب پرتقال-هویج طی دوره نگهداری

Table 8- Comparison of the turbidity values (NTU) of different symbiotic beverage treatments based on orange-carrot juice during storage period

	زمان نگهداری (روز)				
	30	20	10	1	
	1.35±0.00 ^{A,j}	1.28±0.01 ^{B,g}	1.22±0.01 ^{C,g}	1.14±0.01 ^{D,h}	Ctrl
	1.37±0.00 ^{A,i}	1.29±0.01 ^{B,g}	1.24±0.01 ^{C,g}	1.16±0.01 ^{D,g}	T1
	1.42±0.00 ^{A,h}	1.33±0.00 ^{B,f}	1.27±0.01 ^{C,f}	1.95±0.00 ^{D,f}	T2
	1.46±0.00 ^{A,f}	1.34±0.00 ^{B,de}	1.31±0.00 ^{C,e}	1.26±0.01 ^{D,cd}	T3
	1.55±0.01 ^{A,c}	1.46±0.00 ^{B,b}	1.40±0.00 ^{C,b}	1.31±0.00 ^{D,b}	T4
	1.47±0.00 ^{A,e}	1.37±0.00 ^{B,d}	1.33±0.00 ^{C,d}	1.27±0.01 ^{D,c}	T5
	1.57±0.01 ^{A,a}	1.48±0.01 ^{B,a}	1.42±0.00 ^{C,a}	1.32±0.00 ^{D,a}	T6
	1.45±0.00 ^{A,g}	1.36±0.00 ^{B,e}	1.31±0.01 ^{C,e}	1.23±0.00 ^{D,e}	T7
	1.51±0.00 ^{A,d}	1.42±0.00 ^{B,c}	1.37±0.01 ^{C,c}	1.26±0.01 ^{D,cd}	T8
	1.47±0.00 ^{A,e}	1.36±0.00 ^{B,e}	1.31±0.00 ^{C,e}	1.25±0.01 ^{D,d}	T9
	1.56±0.00 ^{A,b}	1.47±0.00 ^{B,b}	1.40±0.00 ^{C,b}	1.32±0.01 ^{D,a}	T10

*حروف لاتین بزرگ بیانگر وجود اختلاف معنی‌دار بین مقادیر هر ردیف در سطح احتمال ۵٪ می‌باشد (مقایسه تغییرات هر تیمار طی زمان).

*حروف لاتین کوچک بیانگر وجود اختلاف معنی‌دار بین مقادیر هر ستون در سطح احتمال ۵٪ می‌باشد (مقایسه تیمارها در هر زمان ثابت).

بیشترین میزان IC50 و کمترین میزان فعالیت آنتی‌اکسیدانی در نمونه شاهد مشاهده شد و افزایش سطوح فرم آزاد و میکرو و نانوکپسول‌های عصاره در نوشیدنی‌ها، به دلیل افزایش غلظت ترکیبات زیست‌فعال به‌ویژه پلی‌فنول‌ها، موجب کاهش معنی‌دار مقادیر IC50 و افزایش فعالیت آنتی‌اکسیدانی گردید ($p < 0.05$). به‌طور کلی بیشترین میزان فعالیت آنتی‌اکسیدانی در نوشیدنی حاوی ۱ درصد نانوکپسول تهیه شده با صمغ عربی به‌دست آمد، که به بالاتر بودن محتوای فنول کل

فعالیت آنتی‌اکسیدانی

فعالیت آنتی‌اکسیدانی تیمارهای مختلف نوشیدنی سین‌بیوتیک آب پرتقال-هویج به صورت IC50 اندازه‌گیری شد و نتایج آن نشان داد که طی دوره نگهداری ۳۰ روزه در دمای یخچال، به دلیل کاهش محتوای ترکیبات فنولی، مقادیر IC50 تیمارهای مختلف نوشیدنی به‌طور معنی‌داری افزایش یافت که به معنی کاهش فعالیت آنتی‌اکسیدانی می‌باشد (جدول ۹). همانطوری که انتظار می‌رفت،

این تیمار برمی‌گردد. همچنین طبق نتایج، در تیمارهای حاوی نان و میکروکپسول‌های عصاره ریشه بابا آدم، افزایش IC50 (افت ترکیبات فنولی) طی زمان کمتر از تیمارهای حاوی فرم آزاد عصاره و نمونه کنترل بود، که این موضوع به نقش محافظت‌کنندگی کپسول‌ها و رهایش تدریجی ترکیبات فنولی از کپسول‌ها به داخل نوشیدنی و اکسایش دیرتر آن‌ها برمی‌گردد.

جدول ۹- مقایسه مقادیر IC50 (mg/ml) تیمارهای مختلف نوشیدنی سین‌بیوتیک بر پایه آب پرتقال-هویج طی دوره نگهداری
Table 9- Comparison of the IC50 values (mg/ml) of different symbiotic beverage treatments based on orange-carrot juice during storage period

زمان نگهداری (روز)				
Storage time (Day)				
30	20	10	1	
30.78± 0.41 ^{A,a}	23.91± 0.15 ^{B,a}	20.53± 0.34 ^{C,a}	14.11± 0.02 ^{D,a}	Ctrl
21.95± 0.09 ^{A,b}	16.11± 0.01 ^{B,c}	13.99± 0.16 ^{C,c}	10.26± 0.05 ^{D,e}	T1
10.55± 0.01 ^{A,f}	8.63± 0.06 ^{B,g}	7.51± 0.01 ^{C,g}	5.40± 0.01 ^{D,j}	T2
18.75± 0.16 ^{A,c}	16.45± 0.27 ^{B,b}	15.01± 0.07 ^{C,b}	14.01± 0.06 ^{D,b}	T3
9.20± 0.11 ^{A,g}	8.29± 0.05 ^{B,h}	7.51± 0.18 ^{C,g}	7.38± 0.04 ^{C,g}	T4
15.07± 0.51 ^{A,d}	14.36± 0.01 ^{B,d}	12.88± 0.12 ^{C,d}	12.37± 0.09 ^{D,c}	T5
7.89± 0.49 ^{A,h}	7.30± 0.14 ^{A,i}	6.60± 0.01 ^{B,h}	6.27± 0.00 ^{C,h}	T6
15.43± 0.49 ^{A,d}	13.55± 0.30 ^{B,e}	12.23± 0.10 ^{C,e}	11.48± 0.01 ^{D,d}	T7
7.91± 0.20 ^{A,h}	7.10± 0.05 ^{B,j}	6.43± 0.07 ^{C,i}	6.03± 0.07 ^{D,i}	T8
13.36± 0.12 ^{A,e}	12.51± 0.02 ^{B,f}	11.30± 0.16 ^{C,f}	10.12± 0.01 ^{D,f}	T9
6.67± 0.39 ^{A,i}	6.38± 0.08 ^{A,k}	5.83± 0.01 ^{B,j}	5.42± 0.03 ^{C,j}	T10

*حروف لاتین بزرگ بیانگر وجود اختلاف معنی‌دار بین مقادیر هر ردیف در سطح احتمال ۵٪ می‌باشد (مقایسه تغییرات هر تیمار طی زمان).
*حروف لاتین کوچک بیانگر وجود اختلاف معنی‌دار بین مقادیر هر ستون در سطح احتمال ۵٪ می‌باشد (مقایسه تیمارها در هر زمان ثابت).

بالتر از نوشیدنی غیرپروبیوتیک بود. همچنین در طی زمان نگهداری میزان فعالیت آنتی‌اکسیدانی کاهش یافت، در این تحقیق، رابطه مثبتی بین محتوای ترکیبات پلی‌فنولی و فعالیت آنتی‌اکسیدانی نوشیدنی آب سیب مشاهده گردید که با نتایج تحقیق حاضر همخوانی دارد (Pereira et al., 2011). بر طبق تحقیقات صورت گرفته بر روی آب انار توسط Mousavi و همکاران (۲۰۱۳)، تخمیر اسید لاکتیک به‌طور معنی‌داری موجب افزایش فعالیت آنتی‌اکسیدانی آب میوه گردید، به‌طوری که فعالیت مهارکنندگی رادیکال DPPH آب انار شاهد ۵۷ درصد بود و در نوشیدنی‌های تخمیر شده با لاکتوباسیلوس پلانتروم و لاکتوباسیلوس/اسیدوفیلوس به ترتیب به ۷۲ درصد و ۸۹ درصد افزایش یافت (Mousavi et al., 2013).

ویژگی‌های حسی

ویژگی‌های ارگانولپتیکی یا حسی، به‌عنوان یکی از مشخصات مهم محصولات پروبیوتیک مورد توجه بوده و برای پذیرش مصرف‌کننده در اولویت قرار دارند (Daneshi et al., 2013). در این تحقیق، ویژگی‌های حسی (رنگ، طعم و مزه، بو و پذیرش کلی) نوشیدنی‌های سین‌بیوتیک بر پایه آب پرتقال-هویج حاوی فرم‌های مختلف عصاره ریشه بابا آدم طی دوره نگهداری ۳۰ روزه در دمای یخچال بر طبق آزمون ۹ نقطه‌ای هدونیک مورد بررسی قرار گرفت

از آنجایی که آب پرتقال و آب هویج حاوی ترکیبات زیست‌فعال نظیر پلی‌فنول‌ها و کاروتنوئیدها هستند، فعالیت آنتی‌اکسیدانی قابل توجهی از خود نشان می‌دهند (Raiesi et al., 2013). همچنین عصاره ریشه بابا آدم نیز حاوی ترکیبات فنولی مختلف نظیر اسیدهای کافئیک، کلروژنیک، ایزوکلروژنیک و مشتقات دی‌کافئیل کوئینیک و غیره می‌باشد (Ghedira & Goetz, 2013). از این رو، فعالیت آنتی‌اکسیدانی قابل توجه نوشیدنی‌های بر پایه آب پرتقال-هویج حاوی عصاره ریشه بابا آدم دور از انتظار نبود. در همین راستا Khezri و همکاران (۲۰۱۸) نشان دادند که در نوشیدنی‌های آب انجیر سین‌بیوتیک حاوی اینولین، مقادیر ترکیبات فنولی طی دوره تخمیر بالاتر از نوشیدنی‌های پروبیوتیک بوده و از این رو، فعالیت مهارکنندگی رادیکال آزاد بالاتری داشته‌اند (Khezri et al., 2018). در این نوشیدنی‌ها مطابق با نتایج پژوهش حاضر طی دوره نگهداری محتوای فنول کل کاهش و فعالیت آنتی‌اکسیدانی نیز کاهش یافت، ولی فعالیت آنتی‌اکسیدانی در نوشیدنی حاوی اینولین طی کلیه زمان‌های مورد مطالعه بالاتر از نوشیدنی پروبیوتیک فاقد اینولین بود. محققین همچنین اظهار داشتند که باکتری‌های پروبیوتیک فعالیت آنتی‌اکسیدانی از خود نشان می‌دهند. Pereira و همکاران (۲۰۱۳) گزارش کردند که در نوشیدنی‌های آب سیب حاوی باکتری پروبیوتیک لاکتوباسیلوس کازئی، میزان فعالیت آنتی‌اکسیدانی به‌طور معنی‌داری

۶) بود که البته از نظر آماری با نمونه شاهد در یک سطح بودند ($p > 0.05$). دلیل کاهش امتیاز رنگ و در نتیجه پذیرش کلی تیمارهای تولید شده با صمغ عربی احتمالاً رنگ تیره پودر آن است، در حالی که مالتودکسترین یک پودر سفید است که با هیدرولیز جزئی نشاسته گیاهی به دست می‌آید و تاثیر منفی بر رنگ نوشیدنی‌ها ندارد. در مطالعاتی مشابه **Khezri** و همکاران (۲۰۱۸) در بررسی غنی‌سازی آب انجیر با اینولین و لاکتوباسیلوس دلیروکی گزارش کردند که افزودن پری‌بیوتیک اینولین به نوشیدنی پروبیوتیک، تاثیر معنی‌داری بر ویژگی‌های حسی نوشیدنی آب انجیر شامل رنگ، بو، مزه و پذیرش کلی نداشت (**Khezri et al., 2018**). **White** و **Hekmat** (۲۰۱۸) نیز مشاهده کردند که افزودن اینولین به آب میوه‌های پروبیوتیک سیب، پرتقال و انگور اثر معنی‌داری بر پذیرش حسی نوشیدنی‌های تولیدی نداشت (**White & Hekmat, 2018**). در حالیکه **Daneshi** و همکاران (۲۰۱۳) با بررسی ویژگی‌های حسی نوشیدنی مخلوط شیر- آب هویج پروبیوتیک، کاهش امتیازات حسی نوشیدنی‌ها طی دوره نگهداری را گزارش کردند (**Daneshi et al., 2013**).

که نتایج آن به صورت پذیرش کلی در **جدول ۱۰** آورده شده است. طبق نتایج به دست آمده مشاهده شد که افزودن فرم‌های مختلف عصاره به فرمولاسیون نوشیدنی، تاثیر نامطلوبی بر طعم و بوی نمونه‌های تولیدی نداشت. همچنین افزودن عصاره آزاد و میکرو و نانوکپسول‌های تهیه شده با مالتودکسترین تاثیر نامطلوبی بر رنگ و پذیرش کلی نوشیدنی‌ها نداشتند، ولی با افزودن میکرو و نانوکپسول‌های تهیه شده با صمغ عربی، امتیاز رنگ و پذیرش کلی به طور معنی‌داری کاهش یافت ($p < 0.05$). در اکثر تیمارها طی دوره نگهداری، به تدریج ویژگی‌های حسی کاهش پیدا کردند با این حال، کلیه تیمارها در تمامی روزهای مورد مطالعه در این تحقیق، امتیاز متوسط به بالا ($> 4/5$) کسب کرده و قابل پذیرش بودند، ولی همانطور که مشاهده می‌شود بالاترین پذیرش حسی در روز آخر انبارمانی مربوط به نوشیدنی‌های حاوی فرم‌های میکرو و نانوکپسول تهیه شده با مالتودکسترین بود (امتیاز ۸/۳-۸). نمونه‌های حاوی عصاره آزاد (امتیاز ۷/۷-۷/۵) نیز دارای پذیرش کلی بالاتری نسبت به شاهد (امتیاز ۷) بودند، این در حالی بود که کمترین امتیاز پذیرش کلی در بین همه نمونه‌های تولید شده متعلق به تیمارهای حاوی ۰/۵ و ۱ در صد میکرو و نانوکپسول‌های تهیه شده با صمغ عربی (امتیاز ۶/۷-

جدول ۱۰- مقایسه امتیازات پذیرش کلی تیمارهای مختلف نوشیدنی سین‌بیوتیک بر پایه آب پرتقال-هویج طی دوره نگهداری
Table 10- Comparison of the overall acceptance scores of different symbiotic beverage treatments based on orange-carrot juice during storage period

زمان نگهداری (روز)				Ctrl
Storage time (Day)				
30	20	10	1	
7.00± 0.00 ⁱ	7.70± 0.11 ^g	8.20± 0.23 ^{def}	8.80± 0.21 ^{ab}	
7.50± 0.09 ^{gh}	8.10± 0.19 ^{ef}	8.30± 0.19 ^{cde}	8.60± 0.25 ^{abcd}	T1
7.70± 0.21 ^g	8.10± 0.25 ^{ef}	8.20± 0.12 ^{de}	8.40± 0.22 ^{bcde}	T2
8.00± 0.21 ^f	8.30± 0.07 ^{cde}	8.70± 0.14 ^{abc}	8.90± 0.16 ^a	T3
8.30± 0.14 ^{cde}	8.30± 0.05 ^{cde}	8.70± 0.21 ^{abc}	8.80± 0.18 ^{ab}	T4
7.00± 0.16 ⁱ	6.90± 0.16 ⁱ	7.00± 0.05 ⁱ	7.00± 0.08 ⁱ	T5
6.80± 0.11 ⁱ	6.90± 0.21 ⁱ	6.90± 0.12 ⁱ	7.00± 0.10 ⁱ	T6
8.10± 0.18 ^{ef}	8.40± 0.12 ^{bcde}	8.80± 0.08 ^{ab}	9.80± 0.15 ^a	T7
8.20± 0.10 ^{def}	8.50± 0.09 ^{bcde}	8.80± 0.06 ^{ab}	8.80± 0.15 ^{ab}	T8
6.90± 0.08 ⁱ	6.90± 0.16 ⁱ	7.00± 0.22 ⁱ	7.10± 0.11 ^{hi}	T9
6.90± 0.15 ⁱ	6.80± 0.21 ⁱ	6.80± 0.16 ⁱ	7.00± 0.09 ⁱ	T10

لاکتوباسیلوس/اسیدوفیلوس مورد بررسی قرار گرفت. نتایج آنالیز و شناسایی ترکیبات کربوهیدراتی عصاره نشان داد محتوای کل پلی‌فروکتوزهای عصاره برابر $12/9 \pm 0/88$ g/100g DW اندازه‌گیری شد که حدود ۷۵ درصد آن ($9/75 \pm 0/65$ g/100g DW) شامل اینولین می‌باشد. فروکتوالیگوساکاریدهای **Nystose** و **1-Kestose** که ترکیبات تجزیه شده حاصل از فروکتان‌ها هستند نیز به ترتیب به میزان $0/88 \pm 0/18$ و $0/53 \pm 0/08$ g/100g DW شناسایی شدند. نتایج

نتیجه گیری

در این مطالعه، ابتدا ریزپوشانی عصاره ریشه بابا آدم با دو روش خشک کردن پاششی (میکروکپسولاسیون) و خشک کردن انجمادی (نانوکپسولاسیون) و استفاده از مالتودکسترین و صمغ عربی به عنوان عوامل پوشش‌دهنده دیواره کپسول انجام شد. سپس تاثیر عصاره‌های کپسوله شده به اشکال مختلف (آزاد/ میکرو/ نانو) بر خواص آنتی‌اکسیدانی و حسی نوشیدنی پرتقال- هویج حاوی باکتری

کپسول‌های تهیه شده با صمغ عربی موجب تیره‌تر شدن رنگ نوشیدنی‌های تولیدی و در نتیجه کاهش پذیرش کلی گردید. با این وجود، کلیه تیمارهای نوشیدنی در تمامی روزهای مورد مطالعه از لحاظ ویژگی‌های حسی امتیاز قابل قبولی کسب کرده و قابل پذیرش بودند. همچنین در کلیه تیمارهای نوشیدنی سین‌بیوتیک تولیدی در این تحقیق، تا روز آخر انبارمانی در دمای یخچال، تعداد باکتری‌های پروبیوتیک در حد استاندارد تعیین شده برای محصولات پروبیوتیک بود. بنابراین با توجه به نتایج ارزیابی دستگاهی و حسی، نانوکپسول‌های تهیه شده با صمغ عربی (T10) به‌عنوان تیمار مطلوب انتخاب شده و تولید و استفاده آن برای پایداری ترکیبات حساس عصاره‌های گیاهی به‌منظور افزایش خواص سلامتی بخش توصیه می‌شود.

مرحله ریز پوشانی نشان داد بالاترین بازده کپسولاسیون و فعالیت آنتی‌اکسیدانی در نانوکپسول‌های تهیه شده با صمغ عربی به‌دست آمد. تصاویر SEM نیز نشان داد کپسول‌های تولیدی از لحاظ ریزساختار، اکثراً دارای گوشه و صفحه‌ای مانند بودند و شکل منظمی نداشتند. نتایج مرحله غنی‌سازی آبمیوه پرتقال- هویج هم نشان داد با افزودن فرم‌های مختلف عصاره ریشه بابا آدم، عدد فرمالین، فعالیت آنتی‌اکسیدانی، قابلیت زنده‌مانی باکتری لاکتوباسیلوس/اسیدوفیلوس، کدورت و ویسکوزیته نسبت به نمونه شاهد افزایش یافت. به‌طور کلی، عصاره‌های کپسوله شده تأثیر بالاتری نسبت به فرم آزاد عصاره بر حفظ کیفیت و خواص عملگرایی نوشیدنی‌های سین‌بیوتیک تولیدی داشتند، به‌طوری که تأثیر نانوکپسول‌های عصاره تهیه شده با صمغ عربی بر افزایش قابلیت زنده‌مانی پروبیوتیک‌ها و افزایش محتوای فنول و فعالیت آنتی‌اکسیدانی نوشیدنی بالاتر از سایر فرم‌های عصاره بود. با این حال، افزودن

منابع

- Akdeniz, B., Sumnu, G. & Sahin, S. (2017). The Effects of Maltodextrin and Gum Arabic on Encapsulation of Onion Skin Phenolic Compounds. *Chemical Engineering Transactions*, 57: 1891-1896.
- Akhavan Mahdavi, S., Jafari, S.M., Assadpoor, E. & Dehnad, D. (2016). Microencapsulation optimization of natural anthocyanins with maltodextrin, gum Arabic and gelatin. *International Journal of Biological Macromolecules*, 85: 379-385. <https://doi.org/10.1016/j.ijbiomac.2016.01.011>
- Arilla, E., Igual, M., Martínez-Monzó, J., Codoñer-Franch, P. & García-Segovia, P. (2020). Impact of Resistant Maltodextrin Addition on the Physico-Chemical Properties in Pasteurised Orange Juice. *Foods*, 9(12): 1832-1843. <https://doi.org/10.3390/foods9121832>
- Badfarsa, H. & Ahmadzadeh Ghavidel, R. (2017). The effect of encapsulation process using frozen dryer on the physicochemical and antioxidant properties of *Heracleum Persicum* essential oil. *Iranian Journal of Innovation in Food Science and Technology*, 10(2): 123-136.
- Bagaoutdinova, I., Fedoseyeva, P. & Okoneshnikova, F. (2001). Fructose-containing carbohydrates in plants of different families. Localization and content," *Chem. Comp. Sim. Butlerov Comm*, vol.2 pp. 13-16.
- Ballesteros, L.F., Ramirez, M.J., Orrego, C.E., Teixeira, J.A. & Mussatto, S.I. (2017). Encapsulation of antioxidant phenolic compounds extracted from spent coffee grounds by freeze-drying and spray-drying using different coating materials. *Food Chemistry*, 237: 623-631. <https://doi.org/10.1016/j.foodchem.2017.05.142>
- Bruno, R.G.S., Rutigliano, H.M., Cerri, R.L., Robinson, P.H. & Santos, J.E.P. (2009). Effect of feeding *Saccharomyces Cerevisiae* on performance of dairy cows during summer heat stress. *Animal Feed Science and Technology*, 150: 175-186. <https://doi.org/10.1016/j.anifeedsci.2008.09.001>
- Burin, V.M., Rossa, P.N., Ferreira-Lima, N.E., Hillmann, M.C.R. & Boirdignon-Luiz, M.T. (2011). Anthocyanins: optimisation of extraction from *Cabernet Sauvignon* grapes, microencapsulation and stability in soft drink. *International Journal of Food Science and Technology*, 46(1): 186-193.
- Cao, T.L., Yang, S.Y. & Song, K.B. (2018). Development of burdock root inulin/chitosan blend films containing oregano and thyme essential oils," *Int. J. Mol. Sci*, 19 (1); 131-143. <https://doi.org/10.3390/ijms19010131>
- Cheraghali, F., mirmoghtadaie, L., Shojaee-aliabadi, S. & Hosseini, S.M. (2016). A Comparative Study of Antimicrobial and Antioxidant Properties of Walnut Green Husk Aqueous Extract before and after Microencapsulation. *Iranian Journal of Nutrition Science and Food Technology*, 11(2): 113-124.
- Daneshi, M., Ehsani, M.R., Razavi, S.H. & Labbafi, M. (2013). Effect of refrigerated storage on the probiotic survival and sensory properties of milk/carrot juice mix drink. *Electronic Journal of Biotechnology*, 16(5): 1-12.
- Esmaeili F., Hashemiravan M., Eshaghi M. R., Gandomi H. (2021). Optimization of aqueous extraction conditions of inulin from the *Arctium lappa L.* roots using ultrasonic irradiation frequency. *Journal of food quality*, <https://doi.org/10.1155/2021/5520996>.
- Fernandes, R.V., Borges, S.V., Botrel, D.A. (2014). Gum arabic/starch/maltodextrin/inulin as wall materials on the microencapsulation of rosemary essential oil. *Carbohydr. Polym.*, 101, 524-532. <https://doi.org/10.1016/j.carbpol.2013.09.083>

14. Ghedira, K. & Goetz, P. (2013). *Arctium lappa* L. (Asteraceae): Bardane. *Phytothérapie*, 11: 376-380. <https://doi.org/10.1007/s10298-013-0827-1>
15. Gibson, G.R., Beahy, E.R., Wang, X. & Cummings, J.H. (1995). Selective Stimulation of bifidobacteria in the human colon by oligofructose and inulin. *American Gastroent Assocition*, 108: 975-982. [https://doi.org/10.1016/0016-5085\(95\)90192-2](https://doi.org/10.1016/0016-5085(95)90192-2)
16. Gilles, K.K., K.T. Vinod, L.M. Christopher, A. Tarab, S.B. Mark, M.G. Netkal and J.T. Ronald, (2012). Nano-microencapsulation and controlled release of linoleic acid in biopolymer matrices: Effects of the physical state, water activity and quercetin on oxidative stability. *J. Encapsulation Adsorption Sci*, 2, 1-10.
17. Haghshenas B, Nami Y, Abdullah N and Yari Khosroshahi A, (2015). Anticancer impacts of potentially probiotic acetic acid bacteria isolated from traditional dairy microbiota. *LWT - Food Science and Technology*, 60: 690–697. <https://doi.org/10.1016/j.lwt.2014.09.058>
18. Hosseini, M.Y., Rezazadbari, M. & Alizade, M. (2016). Production of synbiotic juice: study on the effect pH, Brix, Formalin index and Rheological. *FSCT*, 14(63): 73-81.
19. Hosseinnia, M., Alizadeh Khaledabad, M. & Almasi, H. (2017). Optimization of *Ziziphora clinopodiodes* essential oil microencapsulation by whey protein isolate and pectin: A comparative study. *International Journal of Biological Macromolecules*, 101: 958-966. <https://doi.org/10.1016/j.ijbiomac.2017.03.190>
20. Huang, J. & Yang, L. (2011). Microencapsulation of anthocyanin from fruits of *Berberis kaschgarica* Rupr. *Food Science*, 32(16): 16-21.
21. ISIRI. (2007). Fruit juices– Test methods. Institute of Standards and Industrial Research of Iran. NO. 2685. 1st.revision.
22. Jia, Z., Dumont, M.J. & Orsat, V. (2016). Encapsulation of phenolic compounds present in plants using protein matrices. *Food Bioscience*, 15: 87-104. <https://doi.org/10.1016/j.fbio.2016.05.007>
23. Junior, T., Kuhn, F., Padilha, P.J.M and Vicente, L.R.M. (2018). Microencapsulation of essential thyme oil by spray drying and its antimicrobial evaluation against *Vibrio alginolyticus* and *Vibrio parahaemolyticus*. *Brazilian Journal of Biology*, 78 (2): 311-317. <https://doi.org/10.1590/1519-6984.08716>
24. Khakbaz Heshmati, M. & Khoshghadam, H. (2017). The investigation of rheological and physicochemical characteristics of new formulation of juice produced by combination of sour cherry and red grape, fortified with inulin dietary fibre as a prebiotic product. *Journal of Food Research*, 27(4): 121-134.
25. Khezri, S., Mahmoudi, R. & Dehghan, P. (2018). Fig juice fortified with inulin and *Lactobacillus Delbrueckii*: a promising functional food. *Applied Food Biotechnology*, 5(2): 97-106.
26. Lacroix, C. & Yildirim, S. (2007). Fermentation technologies for the production of probiotics with high viability and functionality. *Currently Opinion Biotechnology*, 18(2): 176-183. <https://doi.org/10.1016/j.copbio.2007.02.002>
27. Le, T.H., Tran, T.M.V., Ton, N.M.N., Tran, T.T.T., Huynh, T.V., Nguyen, T.N., Quang, S.P. & Le, V.V.M. (2017). Combination of whey protein and carbohydrate for microencapsulation of pumpkin (*Cucurbita* spp.) seed oil by spray-drying. *International Food Research Journal*, 24(3): 1227-1232.
28. Lebeka, V.R., Wee, Y.J., Narala, V.R. & Joshi, V.K. (2018). Chapter 2: Development of New Probiotic Foods-A Case Study on Probiotic Juices. *Therapeutic, Probiotic, and Unconventional Foods*. PP: 54-77. <https://doi.org/10.1016/B978-0-12-814625-5.00004-2>
29. Lokuwan, J. (2007). Characteristics of microencapsulated β -carotene formed by spray drying with modified tapioca starch, native tapioca starch and maltodextrin. *Food Hydrocolloids*, 21: 928-935. <https://doi.org/10.1016/j.foodhyd.2006.10.011>
30. Mahmoud, K. F., Ibrahim, M. A., Mervat, E. D., Shaaban, H. A., Kamil, M. M. & Hegazy, N. A. (2016). Nano-encapsulation efficiency of lemon and orange peels extracts on cake shelf life. *American Journal of Food Technology*, 11(3): 63-75.
31. Milani, E., Koocheki, A., Golimovahhed, Q. A. (2011). Extraction of inulin from Burdock root (*Arctium lappa*) using high intensity ultrasound. *International Journal of Food Science and Technology*, 46 (8): 1699–1704.
32. Mousavi, Z.E., Mousavi, S.M., Razavi, S.H., Hadinejad, M., Emam-Djomeh, Z. & Mirzapour, M. (2013). Effect of fermentation of pomegranate juice by *Lactobacillus plantarum* and *Lactobacillus acidophilus* on the antioxidant activity and metabolism of sugars, organic acids and phenolic compounds. *Food Biotechnology*, 27(1): 1-13. <https://doi.org/10.1080/08905436.2012.724037>
33. Naga Sivudu, S., Ramesh, B., Umamahesh, K. & Vijaya Sarathi Reddy, O. (2016). Probiotication of Tomato and Carrot Juices for Shelf-life Enhancement using Micro-encapsulation. *Journal of Food Biosciences and Technology*, 6(2): 13-22.
34. Papoutsis, K., Golding, J. B., Vuong, Q., Pristijono, P., Stathopoulos, C. E., Scarlett, C. J. & Bowyer, M. (2018). Encapsulation of citrus by-product extracts by spray-drying and freeze-drying using combinations of maltodextrin with soybean protein and t-Carrageenan. *Foods*, 7(7): 115-126. <https://doi.org/10.3390/foods7070115>

35. Pereira, A.L.F., Maciel, T.C. & Rodrigues, S. (2011). Probiotic beverage from cashew apple juice fermented with *Lactobacillus casei*. *Food Research International*, 44(5): 1276-1283. <https://doi.org/10.1016/j.foodres.2010.11.035>
36. Petkova, N., Ivanov, I., Mihaylova, D., Lante, A. (2020). Effect of pressure liquid extraction and ultrasonic irradiation frequency on inulin, phenolic content and antioxidant activity in burdock (*Arctium lappa L.*) roots. *Acta Sci. Pol. Hortorum Cultus*, 19(3), 125–133.
37. Pimentel, T.C., Madrona, G.S., Garcia, S. & Prudencio, S.H. (2015). Probiotic viability, physicochemical characteristics and acceptability during refrigerated storage of clarified apple juice supplemented with *Lactobacillus paracasei* ssp. *paracasei* and oligofructose in different package type. *LWT-Food Science and Technology*, 63(1): 415-422. <https://doi.org/10.1016/j.lwt.2015.03.009>
38. Rafiqh, S., Sharma, V., Nazir, A., Rashid, R., Sa, S. & Ahmad Nayik, G. (2016). Development of probiotic carrot juice. *Journal of Nutrition and Food Sciences*, 6(4): 534-540.
39. Raiesi, F., Hojjatolslamy, M., Razavi, S.H., Zahedi, M. & Memarzadeh, S.M. (2013). Investigation of rheological properties of enriched orange drink using rice bran extract. *FSCT*, 10(40): 117-128.
40. Rakmai, J., Cheirsilp, B., Cid, A., Torrado-Agrasar, A., Mejuto, J. C., & Simal-Gandara, J. (2018). Encapsulation of Essential Oils by Cyclodextrins: Characterization and Evaluation. *Cyclo: A Ver. Ing.*, pp 263.
41. Rossman, J.M. (2009). Commercial manufacture of edible films. In *Edible films and coatings for food applications* (pp. 367-390). Springer, New York, NY. https://doi.org/10.1007/978-0-387-92824-1_14
42. Samsam Shariat, H. (2005). Collection of medicinal herbs. Esfahan: Mani Publications; p. 43.
43. Santos, M.A., Costa, G.M., Dias, S.S., Klososki, S.J., Barão, C.E., Gomes, R.G. & Pimentel, T.C. (2019). Pasteurised sugarcane juice supplemented with *Lactobacillus casei* and prebiotics: physicochemical stability, sensory acceptance and probiotic survival. *International Food Research Journal*, 26(4): 1315-1325.
44. Sardarifar, I., Almasi, H. & Roufegarinezhad, L. (2019). Microencapsulation of zinc micronutrient by spray drying method and its application in apple juice fortification. *Journal of Food Research*, 29(2): 47-63.
45. Sharifi, A., Niakousari, M., Maskooki, A. & Mortazavi, S.A. (2015). Effect of spray drying conditions on the physicochemical properties of barberry (*berberis vulgaris*) extract powder. *International Food Research Journal*, 22(9): 2364-2370.
46. Sheehan, V., Ross, P. & Fitzgerald, G.F. (2007). Assessing the acid tolerance and the technological robustness of probiotic cultures for fortification in fruit juices. *Innovation of Food Science, Emergency and Technology*, 8: 284-279. <https://doi.org/10.1016/j.ifset.2007.01.007>
47. Shoaib M., Shehzad A., Omar M., Rakha A., Raza H., Sharif H. R., Shakeel A., Ansari A. & Niazi S. (2016). Inulin: Properties, health benefits and food applications. *Carbohydrate Polymers* 147; 444–454. <https://doi.org/10.1016/j.carbpol.2016.04.020>
48. Souri, A., Mirzaei, M. & Mirdamadi, S. (2019). The effect of green leaf tea extract on probiotic bacterial viability in watermelon juice. *JFST*, 85(15): 73-86.
49. Tadros, T., Izquierdo, P., Esquena, J. & Solans, C. (2004). Formation and stability of nano-emulsions. *Adv Colloid Interface Sci*; 108-109:303-18. <https://doi.org/10.1016/j.cis.2003.10.023>
50. Tewari S., Ramalakshmi K., Methre L., Rao L. J. M. 2015. Microwave-Assisted Extraction of Inulin from Chicory Roots Using Response Surface Methodology, *J Nutr Food Sci* 2015, 5 (1); 1-6.
51. Tonon, R.V., Brabet, C. & Hubinger, M.D. (2008). Influence of process conditions on the physicochemical properties of acai (*euterpe oleraceae* mart.) powder produced by spray drying. *Journal of Food Engineering*, 88(3): 411-418. <https://doi.org/10.1016/j.jfoodeng.2008.02.029>
52. Vaillant, F., Pérez, A.M., Acosta, O. & Dornier, M. (2008). Turbidity of pulpy fruit juice: A key factor for predicting cross-flow microfiltration performance. *Journal of Membrane Science*, 325: 404-412. <https://doi.org/10.1016/j.memsci.2008.08.003>
53. Wegerif M C. A., Hebinck P. 2016. The Symbiotic Food System: An ‘Alternative’ Agri-Food System Already Working at Scale. *Agriculture*, 6, (40); 1-25. <https://doi.org/10.3390/agriculture6030040>
54. White, J. & Hekmat, S. (2018). Development of probiotic fruit juices using *Lactobacillus rhamnosus* GR-1 fortified with short chain and long chain inulin fiber. *Fermentation*, 4: 27-38. <https://doi.org/10.3390/fermentation4020027>
55. Wu King-Chuen., Weng Hung-Kai., Hsu Yun-Shang., Huang Pin-Jia., Wang Yang-Kao. (2020). Aqueous extract of *Arctium lappa L.* root (burdock) enhances chondrogenesis in human bone marrow-derived mesenchymal stem cells. *BMC Complementary Medicine and Therapies*, 20; 364. <https://doi.org/10.1186/s12906-020-03158-1>
56. Yang, L., Yin, P., Hang, F., Xue, Q., Li, K., Li, X., Sun, L. & Liu, Y. (2017). Optimization of ultrasonic-assisted extraction by response surface methodology with maximal phenolic yield and antioxidant activity from *Acer truncatum* leaves. *Peer-reviewed version available at Molecules*, 22: 232-251.
57. Yeo, S.K. & Liong, M.T. (2010). Effect of prebiotics on viability and growth characteristics of probiotics in soymilk. *Journal of Science Food and Agriculture*, 90(2): 267-275. <https://doi.org/10.1002/jsfa.3808>

58. Yoon, K. Y., Woodams, E. E. & Hang, Y. D. (2005). Fermentation of beet juice by beneficial lactic acid bacteria. *LWT-Food Science and Technology*, 38(1):73-5. <https://doi.org/10.1016/j.lwt.2004.04.008>
59. Zahrani, K., Imansari, F., Utami, T. S. & Arbianti, R. (2016). Release profile of *Andrographis paniculata* leaf extract Nano-capsule as α -Glucosidase inhibitors. *IOP Conf. Series: Materials Science and Engineering*, 214: 1-8. [DOI:10.1088/1757-899X/214/1/012020](https://doi.org/10.1088/1757-899X/214/1/012020)
60. Zokti James, A., Baharin, B. S., Abdulkarim S. M. & Abas, F. (2016). Microencapsulation of green tea extracts and its effects on the physicochemical and functional properties of mango drinks. *International Journal of Basic and Applied Sciences*, 16(02): 16-32.